

1841

T. C.
HACETTEPE ÜNİVERSİTESİ
SAĞLIK BİLİMLERİ ENSTİTÜSÜ

**ÇEŞİTLİ 3 - (2 - FENİLETİL) - 5 - SÜBSTİTÜE - TETRAHİDRO
- 2H - 1, 3, 5 - TİADİAZİN - 2 - TİON TÜREVLERİ
ÜZERİNDE SENTEZ VE YAPI AYDINLATMA ÇALIŞMALARI**

**FARMASÖTİK KİMYA PROGRAMI
BİLİM UZMANLIĞI TEZİ**

Ecz. Erhan PALASKA

**Rehber Öğretim Üyesi
Doç.Dr. A. Altan BİLGİN**

ANKARA-1987

İÇİNDEKİLER

	<u>Sayfa No.</u>
1. GİRİŞ VE AMAÇ	1
2. GENEL BİLGİLER	4
Tetrahidro-2H-1,3,5-tiadiazin-2-tionlar	4
2.1. Genel yapı	4
2.2. Sentezleri	6
2.2.1. 4,6-Disübstitüe türevlerinin sentezleri	6
2.2.2. 3,3'-Etilenbis-5,5'-disübstitüe türevlerinin sentezleri	7
2.2.3. 5,5'-Etilenbis-3,3'-disübstitüe türevlerinin sentezleri	7
2.2.4. 3,5-Disübstitüe türevlerinin sentezleri	8
2.3. Fiziksel ve Kimyasal Özellikleri	10
2.4. Spektral Özellikleri	14
2.4.1. UV Spektrumları	14
2.4.2. IR Spektrumları	14
2.4.3. NMR Spektrumları	15
2.5. Antibakteriyal Etkileri ve Yapı-Aktivite İlişkileri	16
3. DENEYSEL KISIM	24
3.1. Sentez Çalışmaları	24
3.1.1. Materyal	24

Sayfa No.

3.1.2. Yöntem	24
3.1.3. Erime Derecesi Tayinleri	25
3.1.4. İnce Tabaka Kromatografisiyle Kontroller	25
3.1.5. Spektrometrik Kontroller	28
3.1.6. Eleman Analizleri	28
4. BULGULAR	29
5. TARTIŞMA VE SONUÇ	54
6. ÖZET	60
SUMMARY	61
7. LİTERATÜR	62
ÖZGEÇMİŞ	70

I. GİRİŞ VE AMAÇ

Anabilim Dalımızda uzun bir süreden beri sürdürülen antifungal ve antibakteriyel aktivitede ilaç geliştirme çalışmalarından bir bölümünü 3,5-disübstitüe-tetrahidro-2H-1,3,5-tiadiazin-2-tionlar üzerinde olanlar oluşturmaktadır.

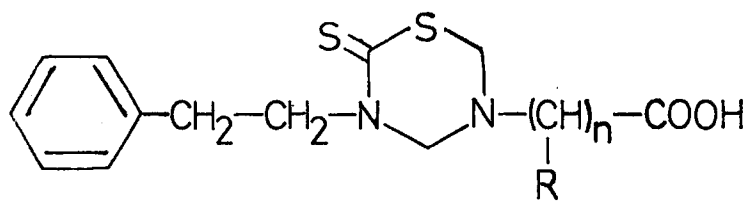
1950'li yılların başlarından itibaren antifungal ve antibakteriyel amaçla sentezi yapılan bazı 3,5-disübstitüe-tetrahidro-2H-1,3,5-tiadiazin-2-tionların yüksek aktivite, düşük toksite göstergeleri bu grup bileşikler üzerinde yoğun çalışmalara neden olmuş, ilerleyen yıllarda bir kısım bileşikler ise ilaç olarak tedaviye girmiştir.

3,5-Disübstitüe-tetrahidro-2H-1,3,5-tiadiazin-2-tion ların ana çekirdeğini ve aktiviteden sorumlu kısmını oluşturan izotiosyanatlar çok eskiden beri antimikrobiyal açıdan etkili bileşikler olarak görülmüş, fakat farmasötik ve fizikokimyasal problemlerinden dolayı tedaviye sunulamamış, bu nedenle ön ilaç olarak hazırlanması yoluna gidilmiştir. Bu amaçla rodanin(1-4), tiazolin(1), ditiazolidin, tiohidantoin(1) ve tiadiazin yapısında birçok bileşigin sentezi yapılmıştır.

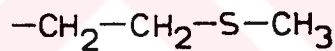
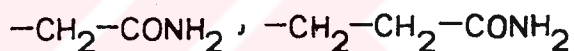
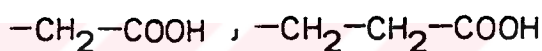
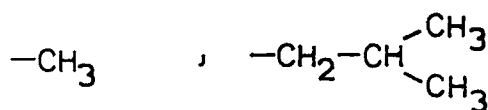
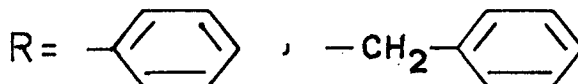
3,5-Disübstitüe-tetrahidro-2H-1,3,5-tiadiazin-2-tion türevlerinin gram pozitif ve gram negatif bakterilere karşı antibakteriyel(5-14), küfler ve maya benzeri fungislara karşı kuvvetli antifungal(5-7,9-13,15-18), antiviral (5,6,19-21), antihelmintik(11), nematosidal(22-25), tüberkülostatik(10, 26-28) ve antifibrinolitik (29) aktiviteleri çeşitli araştırcı grupları tarafından ortaya konmuştur.

Rieche ve arkadaşları(5) ilk olarak 3-fenilalkilsübstitüe türevlerinin antimikrobiyal özelliklerinin diğer türevlere göre daha üstün olduğunu, Zsolnai(13) ise 5-numaralı konumdaki sübstituentlerin, bu bileşiklerin toksisitesi açısından önem taşıdığını belirtmiştir. Çeşitli araştırcı grupları tarafından yapılan birçok çalışmada (5-18) bileşiklerin kimyasal yapıları ile antimikrobiyal etkileri arasında bağıntılar belirlenmiştir.

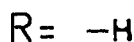
Biz de bu çalışmamızda Anabilim Dalımızda daha önce yapılan araştırmalara ve çeşitli literatür bilgilerine göre antimikrobiyal etki göstermesini beklediğimiz, literatürde kayıtlı bulunmayan on yeni 3,5-disübstitüe-tetrahidro-2H-1,3,5-tiadiazin-2-tion bileşiğinin sentezini yaptık. Sentezi yapılan bu bileşiklerde yüksek antimikrobiyal aktivite görülebilmesi için 3-numaralı konuma 2-feniletil sübstituenti ile genelde konakçı hücreye toksisitesinin düşük olması nedeniyle de 5-numaralı konuma değişik amino asitler getirdik.



$n=1$



$n=2$



Sentezini yaptığımız bileşiklerin ince tabaka kromatografisinde R_f değerlerini ve UV absorpsiyonlarını belirledik. IR, NMR ve eleman analizi ile yapılarını kanıtladık.

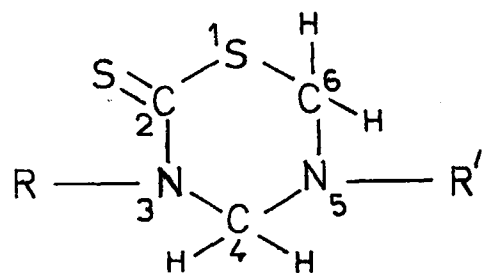
Söz konusu bileşiklerin antimikrobiyal aktivitelerinin araştırılması ve parçalanma hızları ile aktivite arasındaki bağıntılar ayrı bir çalışma konusu olarak incelenecesinden tez kapsamına alınmamıştır.

2. GENEL BİLGİLER

Tetrahidro-2H-1,3,5-tiadiazin-2-tionlar

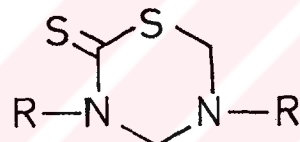
2.1. Genel Yapı

Tabiatta hardal yağı olarak bulunan ve parçalanarak kuvvetli antimikrobiyal etkiye sahip izotiosiyanatları veren tetrahidro-2H-1,3,5-tiadiazin-2-tion yapısındaki maddelerin ilk sentezi asetaldehitin reaksiyonlarını araştırırken bu maddenin amonyak ve karbon sülfür ile reaksiyonu sonucu sentez edilen 4,6-dimetil-tetrahidro-2H-1,3,5-tiadiazin-2-tionu yanlış bir şekilde 1,3,5-ditiazin şeklinde yorumlayan Radtenbacher ve Liebig tarafından 1848 yılında yapılmıştır(11). İleriki tarihlerde Mulder, Guareschi, Delephine, Levi ve Bodendorf da(11) bu konu üzerinde çalışıp yeni türevlerin sentezini yapmışlardır. Ancak hiçbir araştırmacı bu türevler üzerinde kesin bir fikir öne sürmemiş ve konstitüsyonuna dair hiçbir açıklamada bulunmamışlardır. 1944 yılında Ainley ve arkadaşları(30) bu grup bileşikler üzerinde spektroskopik çalışmalarında bulunmuşlar ve yapıyı ilk kez aydınlatarak aşağıdakiler formülü vermişlerdir.

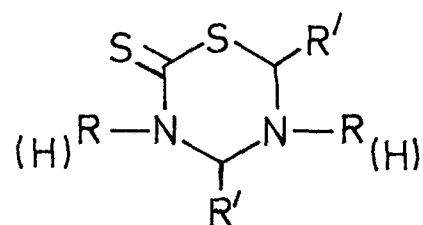


Tetrahidro-2H-1,3,5-triazin-2-thione yapısı içeren dört grup bileşik görülebilir. Bunlar:

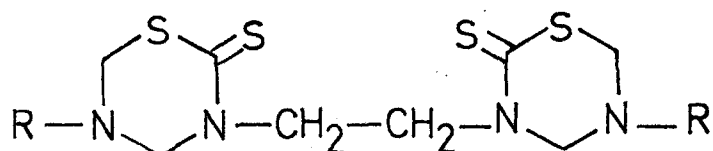
3,5-Disübstitüe-tetrahidro-2H-1,3,5-triazin-2-thione yapısında olabileceği gibi,



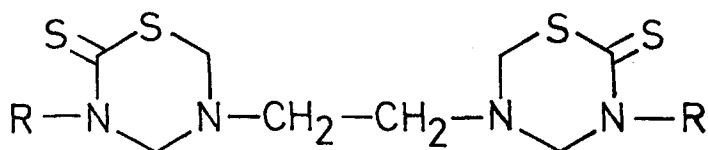
4,6-Disübstitüe veya 3,4,5,6-tetrasübstitüe-tetrahidro-2H-1,3,5-triazin-2-thione,



3,3'-Etilenbis-5,5'-disübstitüe-tetrahidro-2H-1,3,5-triazin-2-thione,



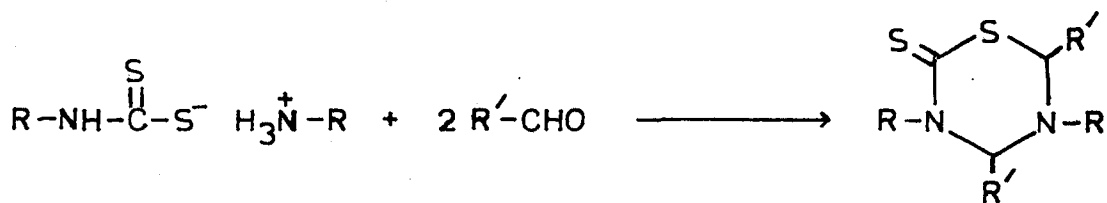
5,5'-Etilenbis-3,3'-disübstitüe-tetrahidro-2H-1,3,5-tiadiazin-2-tion yapılarında da olabilir.



2.2. Sentezleri

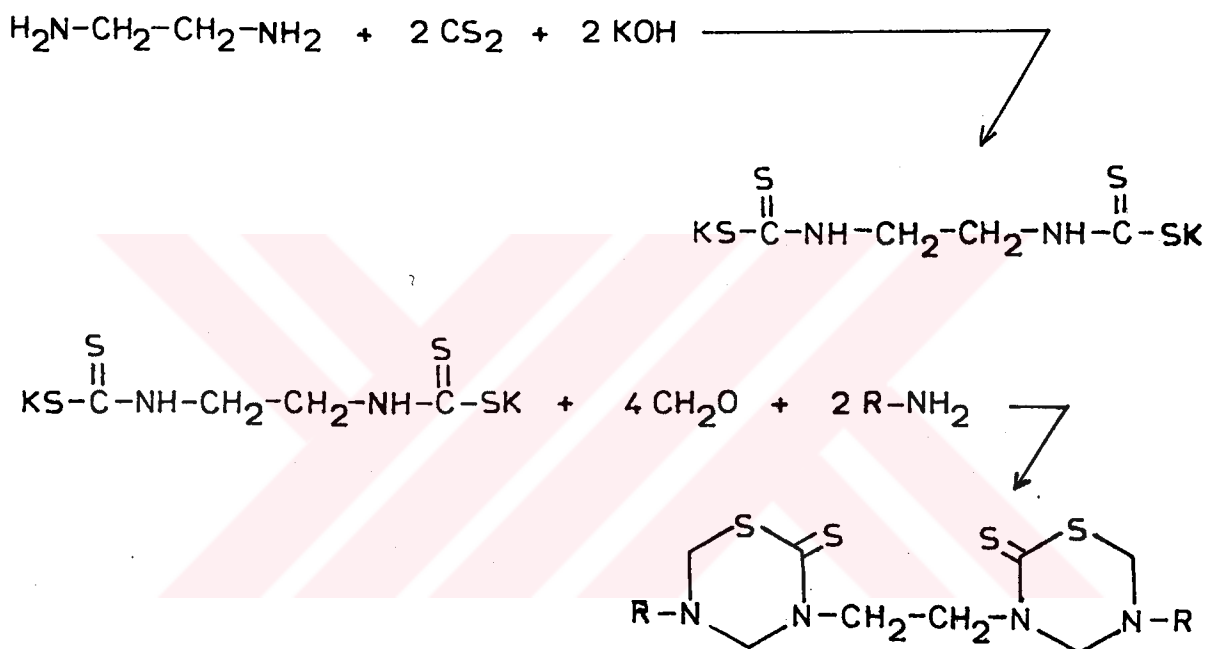
2.2.1. 4,6-Disübstitüe türevlerinin sentezleri

İstenilen primer aminin karbon sülfür ile ditiokarbamatının oluşturulmasını takiben uygun aldehitlerle halka kapatılması sonucu yapılmaktadır. Örneğin 4-ve 6-numaralı konumdaki sübstituentlerin etil olabilmesi için propiyonaldehit kullanılır (31,32).



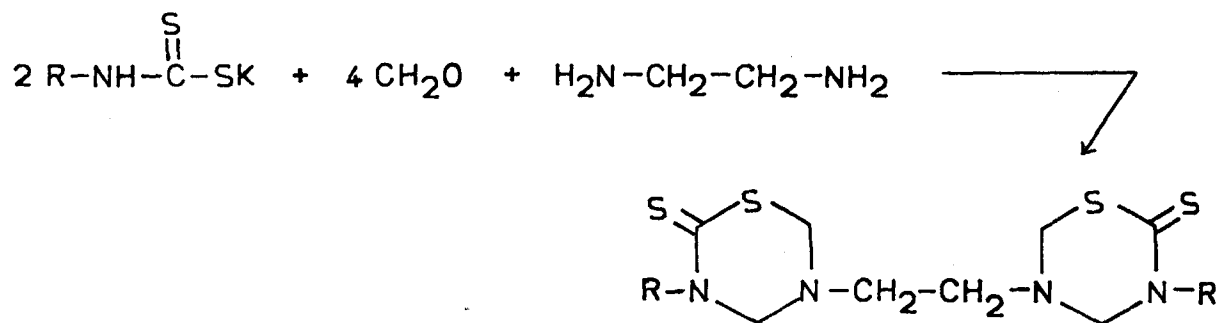
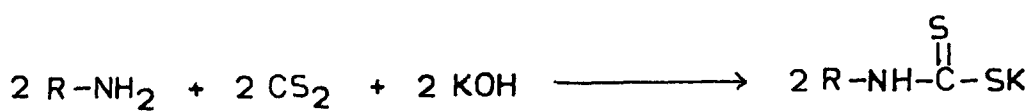
2.2.2. 3,3'-Etilenbis-5,5'-disübstitüe türevlerinin
elde edilmesi

1 mol etilendiaminin 2 mol karbon sülfür ve 2 mol potasyum hidroksit ile hazırlanan dipotasyum etilenbisditio_karbamatının 4 mol formaldehit ve 2 mol primer aminle reaksiyonu sonucu olmaktadır(7,33,34).



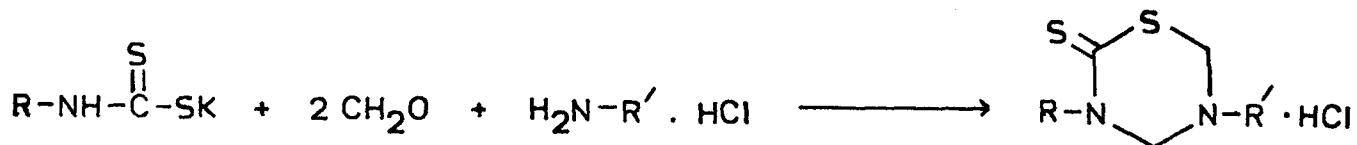
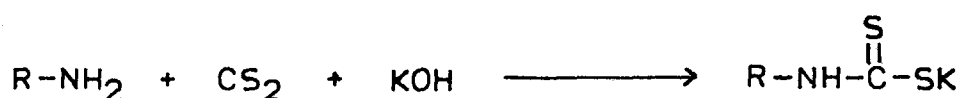
2.2.3. 5,5'-Etilenbis-3,3'-disübstitüe türevlerinin
elde edilmesi

2 mol primer aminin 2 mol karbon sülfür ve 2 mol potasyum hidroksit ile oluşturulan potasyum ditiokarbamatının 4 mol formaldehit ve 1 mol etilendiamin ile olan reaksiyonu sonucu mümkündür(7,35).



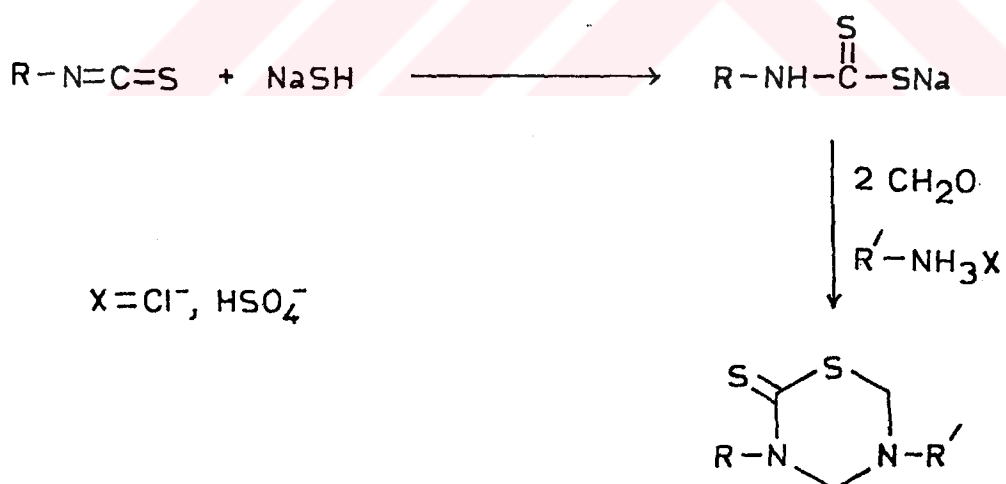
2.2.4. 3,5-Disübstitüe türevlerinin sentezleri

Bizim sentezini yaptığımız bu türevler 1 mol primer aminin 1 mol karbon sülfür ve 1 mol potasyum hidroksit ile potasyum ditiokarbamatı oluşturulduktan sonra 2 mol formaldehit ve 1 mol primer aminle reaksiyona sokulmasıyla elde edilirler (5, 7, 11, 12, 14, 17, 18).



Reaksiyon değişik şartlarda yapılabilir. Nitekim litrede metanol içinde ditiokarbamata, soğutulmuş formaldehit eklendikten sonra su banyosunda ısıtma ile (5), aseton içinde soğukta (5), etanol içinde oda sıcaklığında (5,7), ditiokarbamatın su içinde, oda sıcaklığında sodyum karbonatla oluşturulması ile (5,11), pH:7,8 tamponu içinde oda sıcaklığında (14) ve piridinli ortamda soğukta (17) yürütülen sentez yöntemleri kayıtlıdır.

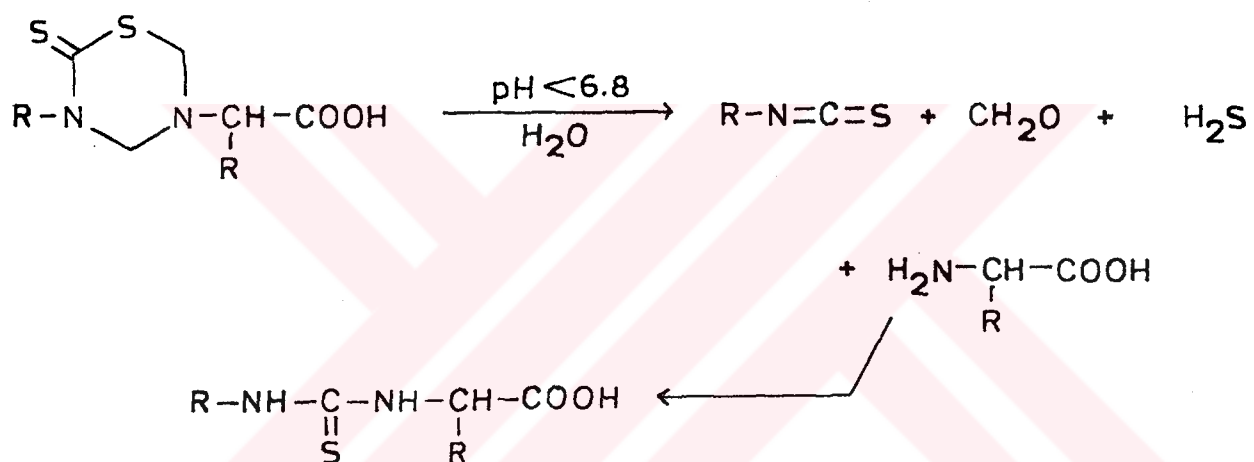
Ayrıca bu türevler izotiosiyonatların alkoldeki çözeltisinin ekimolar miktarda sodyum bisülfür ile reaksiyona sokulup daha sonra formaldehit ile aminin klorür veya sülfat tuzu ile muamele edilmesiyle elde edilebilirler (36,37).



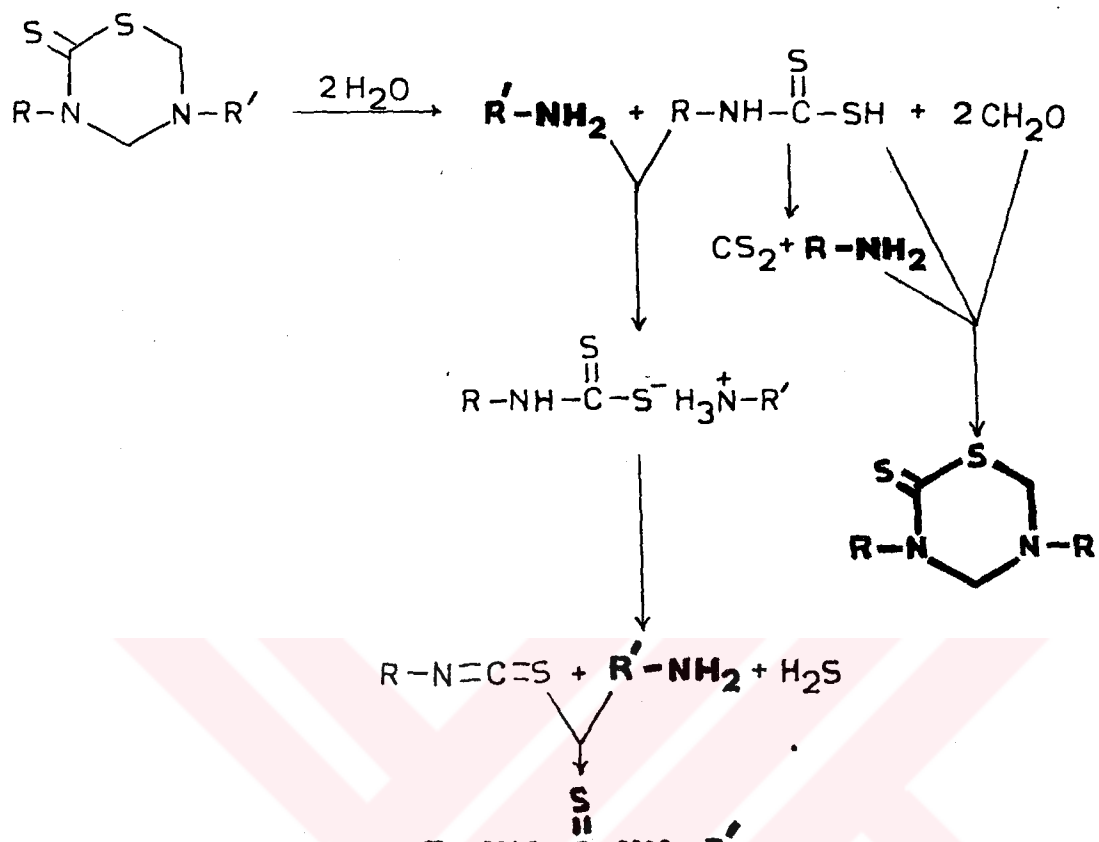
2.3. Fiziksel ve Kimyasal Özellikleri

3,5-Disübstitüe-tetrahidro-2H-1,3,5-tiadiazin-2-tion türevi bileşikler genellikle beyaz veya açık sarı renkte kristalize bileşiklerdir. Su, alkol, kısmen ısı, asit, iyot, nitrik asit ve civa klorür varlığında dekompoze olurlar(30).

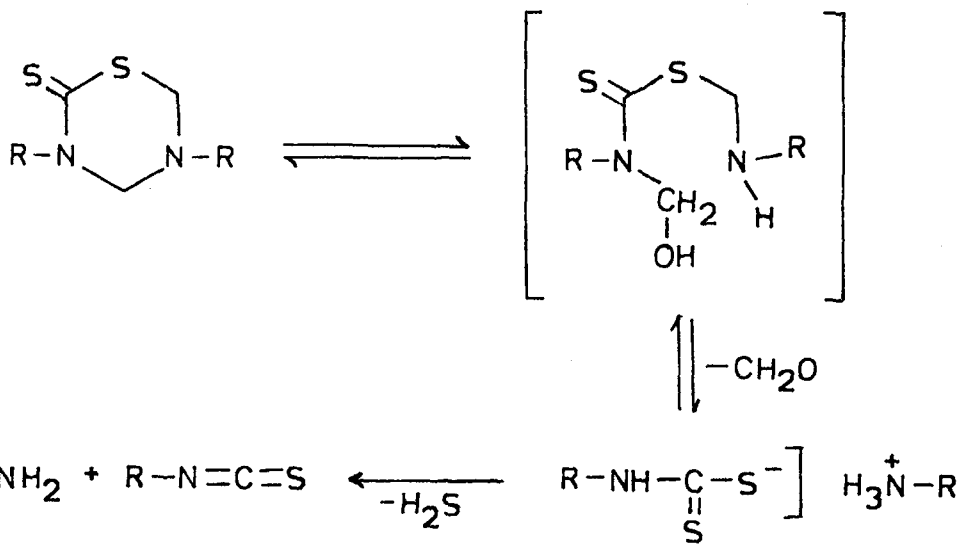
Bileşikler sulu ortamda ve asit pH da hidroliz olurlar(18).



Schade ve Rieche (38) kağıt kromatografisi ile bu yapıdaki bileşiklerin sulu ortamındaki parçalanma ürünlerini saptamışlardır, bunlar şemada koyu renkle belirlenmiştir. Bazı parçalanma ürünlerini ise uçucu olmaları nedeniyle belirlenememiştir.



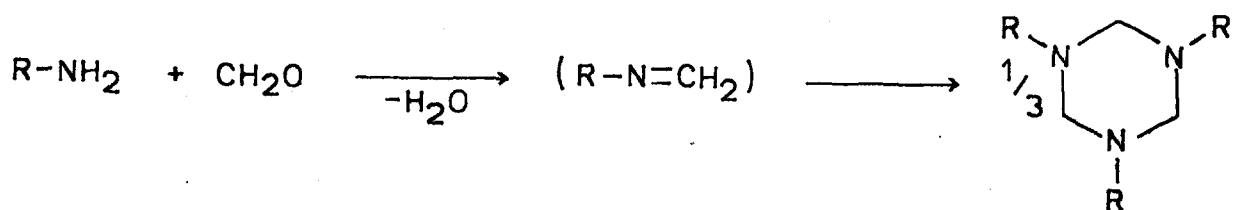
* Würbach ve arkadaşlarının (39) 1971'de yayınlanan çalışmalarında bileşiklerin solvolizinin, ortamda protik solvan bulunması ve asiditedeki artış ile artacağı savunulmuştur. Bileşiklerin hidrolizi formaldehit ve hidrojen sülfürün elimesi ile amine ve izotiosiyanata kadar sürmekte, oluşan ürünler ikincil reaksiyonlar ile değişik produktlere dönüşmekte dır.



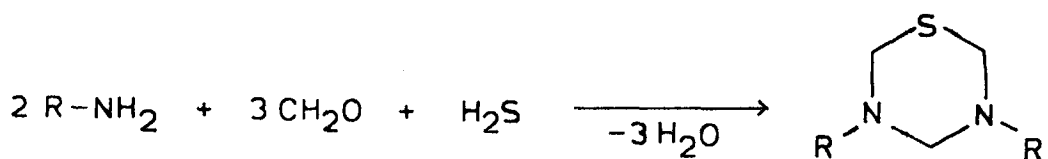
Primer aminin metanollu ortamda izotiosiyanat ile reaksiyonu sonucu sübstitüe üre türevleri oluşmaktadır.



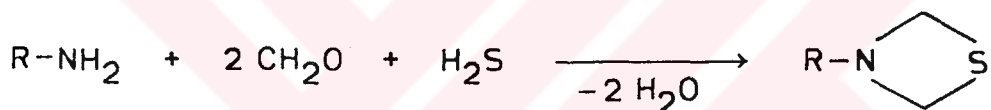
1 mol primer aminin 1 mol formaldehit ile reaksiyonu sonucu 1,3,5-trisübstitüeperhidro-1,3,5-triazin meydana gelmektedir.



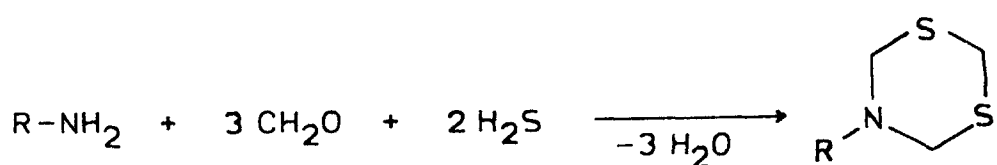
2 mol primer aminin 3 mol formaldehit ve 1 mol hidrojen sülfür ile reaksiyona girmesi sonucu 3,5-disübstitüeperhidro-1,3,5-tiadiazin oluşur.



1 mol primer aminin 2 mol formaldehit ve 1 mol hidrojen sülfür ile reaksiyona girmesi sonucu 3-sübstitüe-1-tia-3-azetidin oluşmaktadır.



1 mol primer aminin 3 mol formaldehit ve 2 mol hidrojen sülfür ile reaksiyona girmesi sonucu oluşan ürün 5-sübstitüe-1,3-ditia-5-azin yapısındadır.



2.4. Spektral Özellikleri

2.4.1. UV Spektrumları

3,5-Disübstitüe-tetrahidro-2H-1,3,5-tiadiazin-2-tion ların spektral özelliklerini ilk inceleyen Ainley ve arkadaşları(30) yaptıkları çalışmada 276-289 ve 245 nm de gözledikleri iki kuvvetli absorbsiyonun -CS-S kromoforundan kaynaklandığını, NPh- nin ise buna katkıda bulunduğu belirtmişlerdir. Talukdar(40) ise 3,5-disübstitüe türevlerinin 250 ve 290 nm deki şiddetli bantların yanısıra 300-360 nm de zayıf bir bant verdiğini belirtmiş, buna ek olarak 3,5-dialkil türevlerinin 290 nm de, 3,5-diaril türevlerinin 250 nm de, 3-aril-5-alkil türevlerinin ise her iki dalga boyunda da şiddetli absorpsiyon gösterdiklerini ve bu absorpsiyonların S- ve N- konjugasyonu ile ilgili olup $\pi \rightarrow \pi^*$ geçişinden kaynaklandığını belirtmiştir. Kristian ve Bernat'ın(41) elde ettiği bulguların da aynı olduğu görülmektedir.

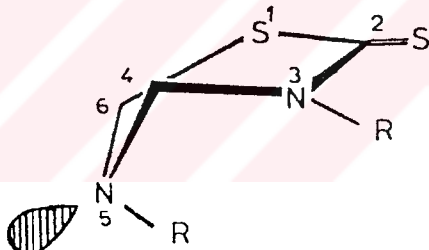
2.4.2. IR Spektrumları

5-Numaralı konumda karboksialkil içeren türevlerin IR spektrumunda $3500-3200 \text{ cm}^{-1}$ de O-H gerilim, fenil halkası ve alifatik gruplar taşıyan türevlerin $3100-2800 \text{ cm}^{-1}$ arasında aromatik ve alifatik C-H gerilim, karboksilli asit ve amid taşıyan türevlerin $1800-1740 \text{ cm}^{-1}$ arasında karboksilli asitlere ait C=O gerilim, $1700-1690 \text{ cm}^{-1}$ arasında amidlere ait C=O gerilim, $1530-1490 \text{ cm}^{-1}$ arasında tiadiazin halkasındaki tion grubuna ait C=S gerilim, aromatik sübstitüent taşıyan

türevlerin (Benzil) 1460 cm^{-1} civarında aromatik C-H defor_masyon, 1600 ve 1330 cm^{-1} civarında C=C gerilim ayrıca tiadi_azin halkasının 1240 cm^{-1} civarında tiolaktam, 1100 cm^{-1} civarında tioeter C-S gerilim ile karboksilli asitlere ait C-O gerilim pikleri verdikleri bildirilmiştir(14,18,42).

2.4.3.NMR Spektrumları

3,5-Disübstítüe-tetrahidro-2H-1,3,5-tiadiazin-2-tion türevi bileşiklerde tiadiazin halkası H^4 ve H^6 protonlarının $4.50-4.60\text{ ppm}$ de singlet veya H^6 protonlarının $4.60-5.10\text{ ppm}$, H^4 protonlarının ise $4.50-5.00\text{ ppm}$ de iki singlet halinde görüldüğü bildirilmektedir(43).



Bazı türevlerde $0,20\text{ ppm}$ lik para- ve diamagnetik kayma sonucunda 3.konumdaki sübstítuentin azota komşu metilen ve H^4 protonları çift dublet olarak pikler vermektedir. Bu durum tetrahidrotiadiazin-2-tion halka sisteminin yarı sandalye konformasyonu ve magnetik anizotropi ile açıklanmaktadır(43, 44). Fenil halkasına ait protonlar ise $7.50-7.80\text{ ppm}$ de multiplet olarak pikler vermektedir(17,42-44).

2.5. Antimikrobiyel Etkileri ve Yapı-Aktivite İlişkileri

3,5-Disübstítüe-tetrahidro-2H-1,3,5-tiadiazin-2-tion bileşikleri üzerindeki antimikrobiyal çalışmalar 1950'li yıllarda başlamış, 1953'de Herschler, 1958'de Freyschus 3,5-dimetil türevinin antibakteriyel etkilerini incelemiştir (45). Bu grup bileşiklerde küfler ve maya benzeri fungus-lara karşı kuvvetli antifungal, gram pozitif ve gram negatif bakterilere karşı ise antibakteriyel etki gözlenmiştir (5-18).

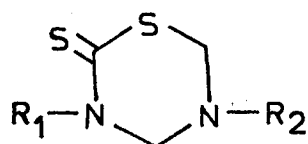
Bu bileşiklerin antimikrobiyal etkisinin molekülün neresinden kaynaklandığını araştıran Goksoyr (45) 3,5-dimetil türevinin parçalanma ürünlerini inceleyerek antimikrobiyal etkiden mono veya dialkilditiokarbamatın sorumlu olduğunu bulmuştur. Bu konuda çok geniş bir çalışma Schade ve arkadaşları tarafından yapılmış (38), mono veya dialkilditiokarbamatı halka içinde taşıyan, asit ve alkali ortamda hidrolize dayanıklı bileşiklerin aktivite göstermediği ortaya konulmuştur. Bu da tetrahidro-2H-1,3,5-tiadiazin-2-tion halkasıının parçalandıktan sonra etki gösterdiğini ispatlamıştır. Parçalanma ürünlerinin hangisinin bu etkiyi gösterdiğini bulmak için de parçalanma ürünleri mikrobiyolojik testlere tabi tutulmuş ve antimikrobiyal etkiden sorumlu yapıların ditiokarbamik asit tuzları ve parçalanma geçiş ürünü olan izotiosianatlardan kaynaklandığını bildirmiştir.

Bu araştırmalardan da anlaşıldığı gibi bu bileşiklerin parçalanması ile ortaya çıkan ürünler etki göstermek

tedir, dolayısıyla tetrahidro-2H-1,3,5-tiadiazin-2-tionlar önilaçtır.

Zsolnai(13) izotiosiyantanların ve ditiokarbamik asit tuzlarının tetrahidro-2H-1,3,5-tiadiazin-2-tion şeklinde önilaç olarak verilmesinin nedenini izotiosiyantanların kötü lezzetlerine, erime derecelerinin düşüklüğüne ve en önemli dezavantajları olan LD₁₀₀ ve tolere edilebilir dozlarının tiadiazin türevi bileşiklere göre çok düşük olmalarına bağlamıştır. Ditiokarbamik asit tuzlarının LD₁₀₀ ve tolere edilebilir dozlarının ise tiadiazin türevleri ile izotiosiyantanların dozları arasında kaldığını bildirmiştir.

1960 yılında Rieche ve arkadaşları(5) 3,5-disübstitüe-tetrahidro-2H-1,3,5-tiadiazin-2-tionların *Staphylococcus aureus*, *Bacillus mesentericus*, *B.subtilis*, *Escherichia coli*, *Bacterium pyocyaneum*, *B.pneumoniae*, *B.lactis aerogenes* gibi bakterilerle, *Endomyces lactis*, *Rhodotorula*, *Candida pseudo tropicalis*, *C.albicans*, *Epidermophyton interdigitale* (Kaufmann, Wolf), *Microsporum gypseum* gibi bazı funguslar üzerine etkilerini incelemişler; genel yapısı;



şeklinde gösterilen bileşiklerin aktiviteden esas sorumlu olan kısmının $\overset{\text{I}}{\text{-C=S'}}$ e komşu olan azot atomu üzerindeki sübstuentler olduğunu (R₁), 5-numaralı konumdaki R₂ sübstuentinin ise aktiviteyi daha az etkilediği ancak bileşiklerin yağ/su

çözünürlüğünü etkilemek suretiyle aktivitede rol oynadıklarını belirtmişlerdir. Yine bu çalışmada, R_1 ve R_2 grupları aynı olduğunda, azot atomlarına metil bağlıken aktivitenin yüksek olduğu, bu grup etil olunca aktivitenin daha da artığı, ancak alkil zincirinin daha uzaması ile aktivitede büyük kayıplar görüldüğü, allil sübstitüenti varlığında aktivitenin yüksek olduğu, fenil varlığında ise benzil ve feniletil türevlerinden daha düşük olduğu belirtilmiştir. Azot atomları üzerinde farklı sübstituentlerin varlığında, R_1 'e metil, allil, benzil ve feniletil sübstituentleri getirildiğinde aktivitenin yüksek olduğu, bu sübstituentler, R_2 ile yer değiştirildiğinde ise aktivitede büyük kayıplar olduğu gözlenmiştir.

Rieche ve arkadaşlarının(7) 1963'de yapmış olduğu başka bir çalışmada 3,5-dibenzil türevinin *Escherichia coli*, *Staphylococcus aureus*, *Bacillus mesentericus*, *Bacterium pyocyaneum*, *B.lactis aerogenes*, *Klebsiella pneumoniae*, *Bacillus subtilis* ve *Enterokokken* gibi bakterilere, *Candida albicans*, *C.pseudotropicalis*, *Rhodotorula rosea*, *Trichophyton mentagrophytes*, *Microsporum audouini*, *M.canis*, *Epidermophyton floccosum* gibi fungslara olan etkileri incelenmiş 5.konumda karboksialkil, alkilsülfonik asit, alkilsülfirik asit ve şeker komponentleri gibi hidrofilik sübstituentler içeren bileşiklerin ortalamanın oldukça üstünde aktiviteye sahip oldukları maksimum aktivitenin ise karboksimetil ve karboksietil gruplarını taşıyan bileşiklerde gözlendiği bildirilmiştir. Araştırmacılar bu sonuçlar doğrultusunda iyi bir aktivite için

3-numaralı konumda benzil, feniletil, allil gibi sübstüentler, 5-numaralı konumda ise bileşiğin sudaki çözünürlüğünü belli oranda artıran grupların bulunması gerektiğini belirtmişlerdir.

Weuffen, Martin ve Schade'nin (8) bakteriostatik aktivite üzerinde durdukları çalışmada birçok bileşik grubuna karşı gram negatif bakterilerin gram pozitif bakterilere göre daha az duyarlı iken, tetrahidro-2H-1,3,5-tiadiazin-2-tion yapısı içeren bileşiklerde gram pozitif kok ve gram negatif bakterilerin üreme inhibisyonunda hiçbir farklılık bulunmadığı, ayrıca Pseudomonas aeruginosanın diğer kemoterapötiklerin birçoğuna direnç gösterirken bu grup bileşikle re büyük hassasiyet gösterdiği bildirilmiştir.

Tartler ve arkadaşları (15) fungustatik aktivite çalışmalarında R_1 ve R_2 sübstüentleri aynı olduğunda zincirin etile kadar uzatılmasının, doymamış olmasının, feniletil veya benzil olmasının aktiviteyi artıracağını belirtmişlerdir. Aynı çalışmada karboksilli bileşiklerin aktivitelerinin düşüğünü belirtmişlerdir. Buda Rieche ve arkadaşlarının yaptığı çalışmada elde edilen sonuçlar ile çelişmektedir.

Weuffen, Martin ve Schade'nin(8) bakteriostatik aktivite çalışmalarında işaret ettikleri bir noktada mikroorganizma inhibe edici özelliğin saptanması için bileşiklerin çeşitli solvanlarda çözünürlüğünün ve yağ/su sisteminde dağılımının saptanmasının önemidir. Çalışmalarında kullandık-

ları tüm maddeler suda az yada çok çözünmektedir. Sudaki çözünürlüğü 1:100000 den az olan bileşiklerin inhibisyon değerleri düşük kabul edilmektedir.

Schorr ve arkadaşları(11) 3-numaralı konumdaki benzil veya feniletil sübstitüentine halojen sübstitusyonu ile aktivitenin devam edeceği veya biraz düşeceği, 5-numaralı konum daki sübstitüentin büyümesi ile de aktivitenin biraz düşeceğini belirtmişlerdir.

Aynı çalışmada 3- ve 5-numaralı konumdaki sübstituentleri azot atomuna bağlayan ara zincirin uzaması ile aktivitenin biraz düşeceği, 5-numaralı konumda hidrofilik sübstituent içeren türevlerde aktivitenin iyi olduğu, bu konumda karboksilli asit içeren türevlerin aktivitesinin asit tuz halinde bulunduğu da pek değişmemesine rağmen, asidin ester halinde bulunmasının aktiviteyi düşürdüğü belirtilmiştir. Ayrıca karboksilli asit tuzlarının daha dayanıklı yapılar olduğu da bildirilmektedir.

Zsolnai'nin değişik yıllarda yaptığı çalışmalarda(8,9,12,13) ditiokarbamatların, izotiosiyantanların ve 3,5-disübstitüe-tetrahidro-2H-1,3,5-tiadiazinlerin *Staphylococcus aureus* *pyogenes*, *S.albus*, *E.coli communis*, *Aerobacter aerogenes*, *Proteus vulgaris*, *Pseudomonos pyocyanea* gibi bakteri, *Candida albicans*, *Saccharomyces cerevisiae*, *Trichophyton gypseum*, *Epidermophyton K.W.*, *Penicillium simplicissimum*, *Aspergillus niger* gibi fungus, *Trichomonas vaginalis*, *Entamoeba histolytica* gibi protozoa ve *Mycobacterium tbc.* H_{37}^{+} Rv ye karşı antimikro-

biyal etkilerini incelemiş, 3-numaralı konumda benzil ve feniletil sübstüenti içeren türevlerin *Pseudomonas pyocyanea* ve *Entamoeba hystolytica* dışındaki mikroorganizmalara etkili olduğunu, 3-numaralı konumda fenil veya çeşitli konumlardan metil, klor, diklor, klor ve brom, metil ve brom ile sübstitüefenil halkası taşıyan türevlerde de aktivitenin çoğu kez olmadığını kaydetmiştir. Zsolnai benzil ve feniletil izotiosiyonatlarında *Pseudomonas pyocyanea* ve protozoalar hariç etkili bileşikler olduğunu ancak izotiosiyonatların 3,5-disübstitüe-tetrahidro-2H-1,3,5-tiadiazin-2-tion türevlerine göre oldukça toksik bileşikler olduğunu belirtmiştir.

Manohar ve arkadaşlarının(16) *Trichophyton mentagrophytes*, *T.rubrum*, *T.violaceum*, *Epidermophyton floccosum*, *Microsorum canis* ve *Candida albicans* funguslarını kullandığı çalışmada; R_1 ve R_2 sübstitüentleri aynı olduğunda R:p-bromo, o-kloro, o,p-dikloro, o,p-dibromo, m,p-diklorobenzil türevlerinde aktivite bulunamamış, buna karşılık benzil, furfuril, tetrahidronaftil türevleri ile, benzil izotiosiyonat ve ac-tetrahidro- β -naftil izotiosiyonatın yüksek aktivitede olduğu belirtilmiştir.

Ertan ve arkadaşları(17) antifungal aktivite üzerinde durdukları bir çalışmada 3-furfuril-5- α -fenilkarboksimetil-tetrahidro-2H-1,3,5-tiadiazin-2-tion'un *Candida albicans*, *C.stellatoides*, *Cryptococcus neoformans*, *C.laurentii*, *Aspergillus fumigatus*, *A.niger*, *A.flavus*, *Penicillium* sp., *Trichophyton mentagrophytes*, *Epidermophyton floccosum*'a karşı

yüksek aktivite gösterdiğini bildirmişlerdir. Bir diğer çalısmalarında(18) ise, 3-numaralı konumda etil, 2-bütil, furfuril ve benzil, 5-numaralı konumda ise karboksimetil sübstitüenti içeren türevlerin fitopatojen Phytophthora capsici leon fungusuna karşı etkili olduğu ve 2-bütil ve benzil türevlerinin invivo çalışmalarında kullanılabileceği belirtildmiştir.

Rieche ve arkadaşlarının(5) 1960 yılında yaptıkları çalışmada 2-numaralı konumdaki tion grubu yerine okso grubu getirilmesinin aktivitede büyük düşüslere neden olduğu bildirilmiştir.

3,5-Disübstitüe-tetrahidro-2H-1,3,5-tiadiazin-2-tion yapısındaki bileşiklerin bazılarda antiviral aktivite de gözlenmektedir.

Rieche ve arkadaşları(5) sadece 3-benzil-5- β -hidroksietil türevi ile 3-benzil-5-metil türevlerinin konakçı hücrede influenza virusunun üremesini inhibe edici özellikte olduklarını belirtmişlerdir.

Schmidt ve arkadaşları(19,20) sadece 3-benzil-5- β -hidroksietil türevinin kobaylardaki ayak ve ağız hastalık viruslarına karşı etkiliyken domuzlardakine etkili olmadığını bildirmiştir.

Rada ve arkadaşları da(21) 3,5-difurilmetyl türevinin vaccinea virusuna karşı plak-inhibisyon testinde büyük bir zon oluşturduğunu, ancak geniş toksisite zonuna da sahip

olduğunu belirtmiş ve bileşiklerin hücrede izotiosiyanatlara parçalanarak etki gösterdiğini bildirmişlerdir. Rao (21) birçok sübstitüe benzil izotiosiyanatın influenza vaccinea virusuna karşı etkili olduğunu bulmuştur.

Tetrahidrotiadiazin-2-tion yapısındaki bileşiklerin tüberkülostatik amaçla kullanımı birçok araştırcı tarafından incelenmiş ve etkili bileşikler olarak bildirilmişlerdir(10,26-28).

3. DENEYSEL KISIM

3.1. Sentez Çalışmaları

3.1.1. Materyal

Çalışmalarımızda kullanılan 2-feniletilamin, karbon sülfür, formaldehit, potasyum hidroksit, DL- α -alanin, β -alanin, L(-) fenilalanin, L-asparajin, L-metiyonin, L(+) aspartik asit, L-glutamik asit Merck ; fenilglisin Fako ilaç fabrikası ; lösin Fisher ; L-glutamin B.D.H. firması nın ürünüdür.

3.1.2. Yöntem

1.21 g(0.01 mol) 2-feniletilamin, 2.8 ml(0.01 mol) %20 lik potasyum hidroksit çözeltisi ile su içinde karıştı_ rıldı. Üzerine oda sıcaklığında 0.6 ml (0.01 mol) karbon sülfür yavaş yavaş ilave edildi. 3,5 saat karıştırılmak suretiyle feniletiliditiokarbamat potasyum tuzunun oluşması sağlandı. Karışım üzerine 1.49 ml (0.02 mol) % 37 lik formal_ dehit çözeltisi ilave edilip 1 saat karıştırıldı. Oluşan

bulanıklık ve yağlı kısım süzülerek giderildi. Elde edilen berrak çözelti pH 7,8 tampon çözeltisinde çözülen veya süs_ panse edilen 0.01 mol amino asit üzerine yavaş yavaş eklen_ di. 2 saat sonra karışım bir ayırma hunisine alınarak 15 ml eter ile üç kez ekstre edildi. Alınan sulu faz soğutulduktan sonra % 15 lik hidroklorik asit çözeltisi ile asitlendiril_ lerek pH 2 ye getirildi. Otuz dakika karıştırıldı. Çöken bileşik vakumda süzülerek ayrıldı ve soğuk su ile yıkandı. Oda ısısında kurutuldu, uygun çözücüler ile yıkandı saf_ laştırıldı.

3.1.3. Erime derecesi tayinleri

Bileşiklerimizin erime dereceleri, "Thomas Hoover Capillary Melting Point Apparatus" erime derecesi tayin cihazında saptanmıştır. Verilen erime dereceleri düzelttil_ memiş değerlerdir.

3.1.4. İnce tabaka kromatografisiyle kontroller

Materiyal

Plaklar: Çalışmamızda Kieselgel HF₂₅₄₋₃₆₆ Typ 60 (Merck) ile 0,3 mm kalınlıkta kaplanıp, 120°C de 20 dakika ısıtılarak aktive edilmiş plaklar kullanıldı.

Solvan sistemleri: Bileşiklerimizin kromatografik kontrollerinde tarafımızdan geliştirilen veya literatürden tespit edilen aşağıdaki solvan sistemleri kullanıldı.

Benzen-etil asetat-formik asit(75:24:1)

Kloroform-metanol (80:20)

Benzen-metanol-etil asetat-formik asit(75:10:7,5:7,5)

Solvan sistemlerinin hazırlanmasında kullanılan çözü_
cüler Merck firmasının ürünüdür.

Yöntem

Sürüklenme şartları: Solvan sistemleri konulan kroma_
tografi küvetlerinin yirmidört saat bekletilmesi ile doygun_
lukları sağlandı. Plaklara sentez ürünlerini ve sentezlerde
kullanılan hareket maddeleri tatbik edildi. Lekelerin R_f de_
ğerleri 20°C de 10 cm lik sürüklene sonucunda saptandı.

Lekelerin belirlenmesi: Kromatogramlarda sentez ürün_
leri ve hareket maddelerine ait lekelerin belirlenmesinde
UV ışığından (254 ve 366 nm) ve aşağıda verilen belirteçler_
den yararlanıldı.

Iyot buharı (46):

Iyot buharlarıyla doyurulmuş bir küvet içine plaklar
yerleştirilerek kromatogramın iyot buharı ile teması sağlan_
dı.

Potasyum ferrisiyanür-ferri klorür(47):

Çözelti I: Potasyum ferrisiyanürün sudaki % 1 lik
çözeltisi

Çözelti II: Ferri klorürün sudaki % 2'lik çözeltisi

Püskürtme çözeltisi: Çözelti I ve II kullanılmadan hemen önce eşit hacimlerde karıştırılıp püskürtüldü.

Ninhidrin belirteci (48, 49):

0.3 g ninhidrinin 100 ml 1-butanoldeki çözeltisine 3 ml glasyal asetik asit ilave edildi.

Çözelti doğrudan doğruya püskürtüldü ve lekeler belirleninceye kadar 110°C de ısıtıldı.

Alkali potasyum permanganat (50):

Çözelti I: Potasyum permanganatın sudaki % 1 lik çözeltisi

Çözelti II: Sodyum karbonatın sudaki % 5 lik çözeltisi

Püskürtme çözeltisi: Çözelti I ve II eşit hacimlerde karıştırılarak püskürtüldü.

Sodyum nitroprussiyat (51):

Çözelti I: 1 N sodyum hidroksit çözeltisi

Çözelti II: 2 g sodyum nitroprussiyatın 100 ml % 75 lik etanoldeki çözeltisi

Çözelti I püskürtülüp kurutuldu ve çözelti II püskürdü.

3.1.5. Spektrometrik kontroller*

UV Spektrumları: Bileşiklerin UV spektrumları, metanoldeki yaklaşık 5×10^{-5} M çözeltilerinden 1 cm lik kuvars küvetlerde Hitachi 220 S UV spektrofotometresinde alındı.

IR Spektrumları: Spektrumlar, yaklaşık % 1 konsantrasyonda madde ve potasyum bromür karışımından 10 t/cm^2 basınçta hazırlanan disklerle, Perkin-Elmer Model 457 IR spektrofotometresinde alınıp dalga sayısı (cm^{-1}) cinsinden değerlendirildi.

NMR Spektrumları: Spektrumlar, bileşiklerin metanol-d₄, aseton-d₆, dimetilsülfoksit-d₆ (Merck) deki yaklaşık % 10 luk çözeltileri ile Bruker-WM-80 ve Bruker-WM-360 NMR spektrometelerinde alınıp δ skalasından değerlendirildi.

3.1.6. Eleman analizleri

Bileşiklerin eleman analizleri Mainz Üniversitesi Eczacılık Fakültesi-Batı Almanya'da yapılmıştır.

*UV, IR, NMR spektrumlarının ve eleman analizi sonuçlarının alınmasındaki yardımlarından dolayı Sayın Prof.Dr.Mevlüt Ertan, Sayın Prof.Dr.Ulf Pindur, Sayın Doç.Dr.Murat Şumnu, Sayın Yrd.Doç.Dr.O.Cihat Şafak, Sayın Dr.Namık Evren'e teşekkürü borç bilirim.

4. BULGULAR

3-(2-Feniletil)-5-[α -(fenil)karboksimetil]-tetrahidro-
2H-1,3,5-tiadiazin-2-tion (I)

1.21 g(0.01 mol) 2-feniletilamin, 2.8 ml(0.01 mol)
% 20 lik potasyum hidroksit, 0.6 ml (0.01 mol) karbon sülfür,
1.49 ml(0.02 mol) % 37 lik formaldehit ve 1.51 g (0.01 mol)
fenilglisinden genel yönteme göre elde edilmiş, metanol ile
yıkınarak saflaştırılmıştır. Verim:2.34g (%62.82).

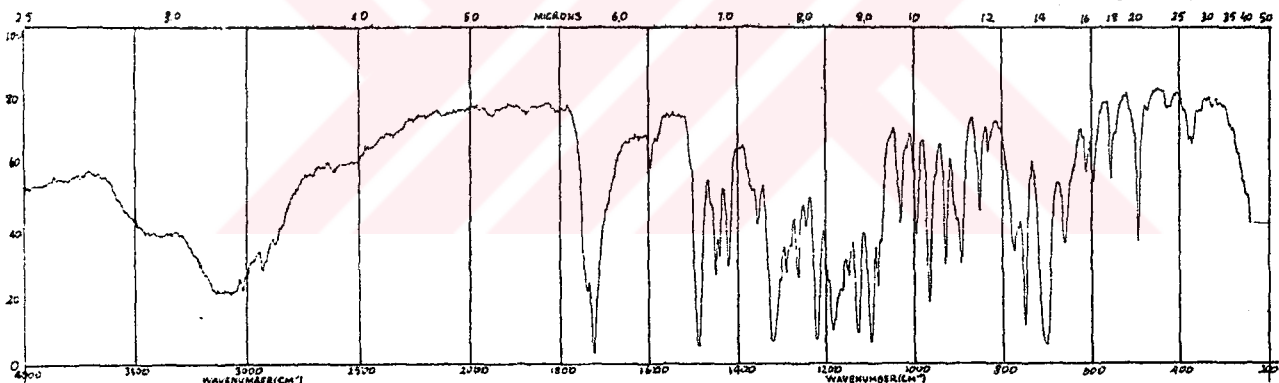
Beyaz renkli kristaller toz halindedir. E.d.143-4°C.
Su, benzen ve petrol eterinde çözünmez, eter ve kloroformda
sıcakta çözünür, metanol, etanol ve asetonda çözünür.

İnce tabaka kromatografisinde benzen-ethyl asetat-for-
mik asit (75:24:1), kloroform-metanol(80:20), benzen-metanol-
ethyl asetat-formik asit (75:10:7,5:7,5) solvan sistemlerinde
 R_f değerleri sırasıyla 0.37, 0.42, 0.89 dur. UV ışığında
254 ve 366 nm de floresan zemin üzerinde floresan olmayan
lekeler verir. İyon buharlarıyla sarı zeminde kahverengi,
potasyum ferrisiyanür-ferri klorür ile sarı zeminde yeşilim-
si mavi,ninhidrin belirteci ile beyaz zeminde turuncu,alkali

potasyum permanganat ile pembe zeminde sarı, sodyum nitroprussiyat ile sarı zeminde uçuk pembe renk verir.

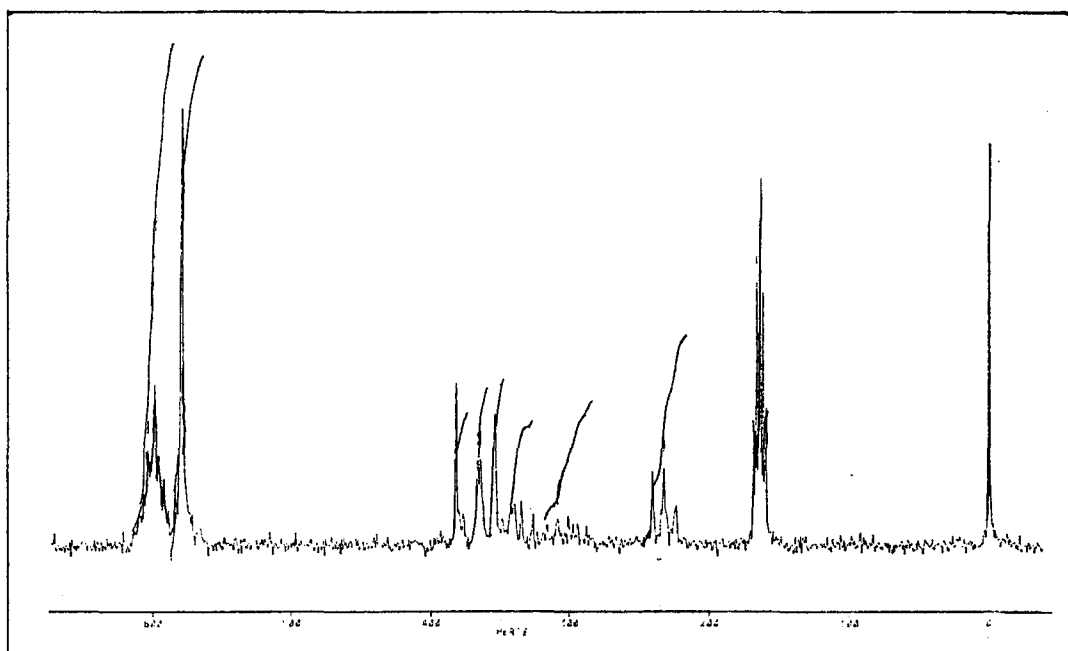
UV spektrumunda λ_{MeOH} 251 (log ε: 3.89) ve 288 nm de maks. (log ε: 4.03) dir.

IR spektrumunda 3100 (O-H gerilim), 3070, 3020 (aromatik C-H gerilim), 2930 (alifatik C-H gerilim), 1725 (C=O gerilim), 1595, 1450, 1420, 1320 (aromatik C=C gerilim ve C-H deformasyon), 1490 (C=S gerilim), 1220, 1095 (C-S gerilim), 1130 (C-O gerilim), 750, 700 cm^{-1} de (monosübstitüe benzen C-H deformasyon) pikler görülür (Şekil 1).



Şekil 1: Bileşik I IR Spektrumu

NMR spektrumunda δ 2.90 (2H; multiplet; $\text{C}_6\text{H}_5-\text{CH}_2-\text{CH}_2-\overset{\text{N}}{\underset{\text{H}}{\text{C}}}-$), 3.97 (2H; multiplet; $\text{C}_6\text{H}_5-\text{CH}_2-\text{CH}_2-\overset{\text{N}}{\underset{\text{H}}{\text{C}}}-$), 4.42 (2H; singlet; tiadiazin H⁶), 4.55 (2H; dublet; tiadiazin H⁴), 4.77 (1H; singlet; $\overset{\text{N}}{\underset{\text{H}}{\text{C}}}-\text{CH}_2-\text{C}_6\text{H}_5$) 7.24 (5H; multiplet; $\text{C}_6\text{H}_5-\text{CH}_2-\text{CH}_2-\overset{\text{N}}{\underset{\text{H}}{\text{C}}}-$), 7.48 ppm de (5H; multiplet; $\overset{\text{N}}{\underset{\text{H}}{\text{C}}}-\text{CH}_2-\text{C}_6\text{H}_5$) pikler görülür (Şekil 2).



Şekil 2: Bileşik I NMR Spektrumu

Analiz: $C_{19}H_{20}N_2O_2S_2$ için;

	% C	% H	% N
Hesaplanan:	61.26	5.41	7.52
Bulunan :	61.26	5.41	7.73

3-(2-Feniletil)-5-[α -(benzil)karboksimetil] -tetrahidro-
2H-1,3,5-tiadiazin-2-tion (II)

1.21 g 2-feniletilamin, 2.8 ml % 20 lik potasyum hidroksit, 0.6 ml karbon sülfür, 1.49 ml % 37 lik formaldehit ve 1.65 g fenilalaninden genel yönteme göre elde edilmiş, metanol ile yıkandıktan sonra saflaştırılmıştır. Verim: 2.61 g (% 67.52).

Beyaz renkli kristaller toz halindedir. E.d. $132-3^{\circ}\text{C}$. Su ve petrol eterinde çözünmez; benzende sıcakta çözünür;

metanol, etanol, aseton ve kloroformda çözünür.

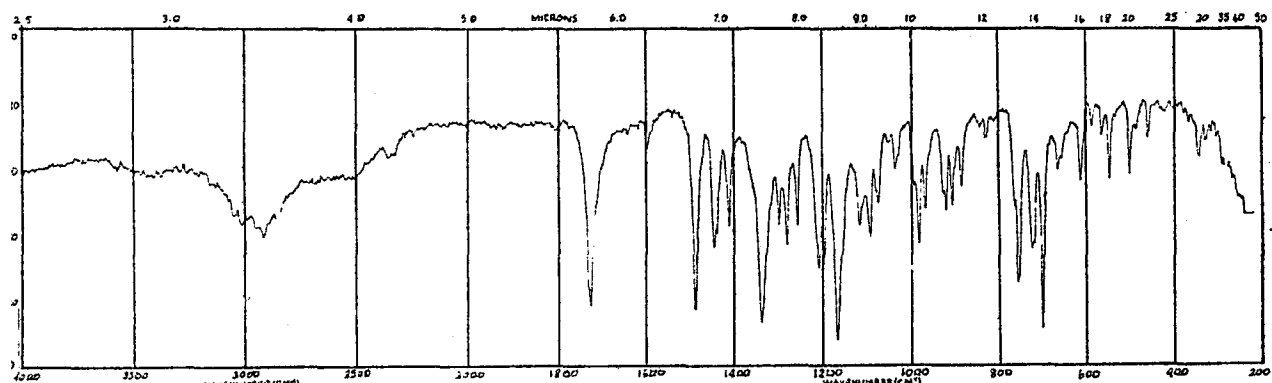
Ince tabaka kromatografisinde benzen-ethyl asetat-formik asit (75:24:1), kloroform-metanol (80:20), benzen-metanol-ethyl asetat-formik asit (75:10:7,5:7,5) solvan sistemlerinde R_f değerleri sırasıyla 0.37, 0.80, 0.78 dir. UV ışığında 254 ve 366 nm de floresan zemin üzerinde floresan olmayan lekeler verir. İyot buharları ile sarı zeminde kahve-rengi, potasyum ferrisiyanür-ferri klorür ile sarı zeminde yeşilimsi mavi, ninhidrin belirteci ile beyaz zeminde menekşe, alkali potasyum permanganat ile pembe zeminde sarı, sodyum nitroprussiyat ile sarı zeminde uçuk pembe renk verir.

MeOH

UV spektrumunda $\lambda_{\text{maks.}}$ 251 ($\log \epsilon: 3.93$) ve 288 nm de

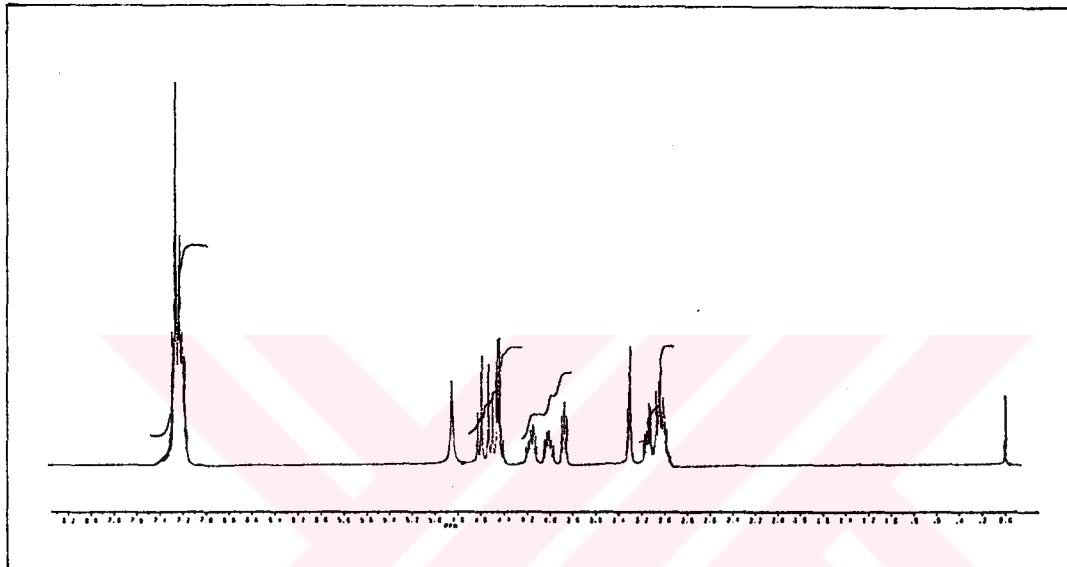
($\log \epsilon: 4.08$) dir.

IR spektrumunda 3100 (O-H gerilim), 3040, 3010 (aromatik C-H gerilim), 2980, 2950, 2920 (alifatik C-H gerilim), 1725 (C=O gerilim), 1600, 1445, 1340 (aromatik C=C gerilim ve C-H deformasyon), 1490 (C=S gerilim), 1210, 1120 (C-S gerilim) 1170 (C-O gerilim), 760, 725 ve $720, 700 \text{ cm}^{-1}$ de (monosübstitüe-benzen C-H deformasyon) pikler görülür (Şekil 3).



Şekil 3:Bileşik II IR Spektrumu

NMR spektrumunda δ 3.07 (4H; multiplet; $C_6H_5-CH_2-CH_2^N-$), 3.88 (1 H; quartet; $N-CH-CH_2-C_6H_5$), 4.01 ve 4.14 (2H; multiplet; $N-CH-CH_2-C_6H_5$), 4.45 (2H; doublet; tiadiazin H⁶), 4.55 (2H; çift doublet; tiadiazin H⁴), 7.24 (5H; multiplet; $C_6H_5-CH_2-CH_2-N-$), 7.25 ppm de (5H; multiplet; $N-CH-CH_2-C_6H_5$) pikler görülür (Şekil 4).



Şekil 4: Bileşik II NMR Spektrumu

Analiz: $C_{20}H_{22}N_2O_2S_2$ için;

	% C	% H	% N
Hesaplanan :	62.15	5.74	7.25
Bulunan :	62.04	5.86	7.56

3-(2-Feniletil)-5-[α -(metil)karboksimetil]-tetrahidro-
2H-1,3,5-tiadiazin-2-tion (III)

1.21 g 2-feniletilamin, 2.8 ml % 20 lik potasyum hidroksit, 0.6 ml karbon sülfür, 1.49 ml % 37 lik formaldehit ve 0.89 g DL- α -alaninden genel yönteme göre elde edilip,

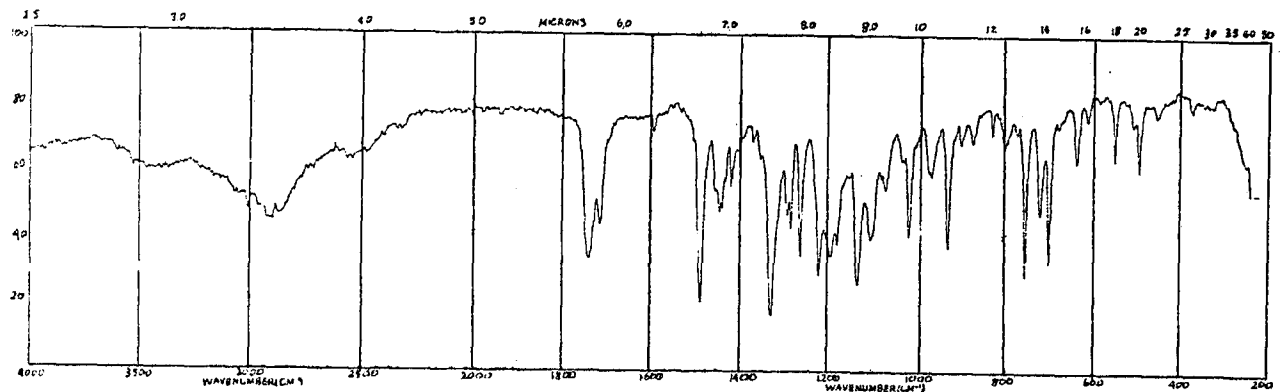
metanol ile yıkanaarak saflaştırılmıştır. Verim: 1.85 g (%59.60).

Beyaz renkli kristaller toz halindedir. E.d.131-3°C. Su, benzen ve petrol eterinde çözünmez; metanolde soğukta zor çözünür; etanol, aseton, eter ve kloroformda çözünür.

İnce tabaka kromatografisinde benzen-ethyl asetat-formik asit (75:24:1), kloroform-metanol (80:20), benzen-metanol-ethyl asetat-formik asit (75:10:7,5:7,5) solvan sistemlerinde R_f değerleri sırasıyla 0.23, 0.41 ve 0.69 dur. UV ışığında 254 ve 366 nm de floresan zemin üzerinde floresan olmayan lekeler verir. İyot buharlarıyla sarı zeminde kahverengi, potasyum ferrisiyanür-ferri klorür ile sarı zeminde yeşilimsi mavi, nihidrin belirteci ile beyaz zeminde menekşe, alkali potasyum permanganat ile pembe zeminde sarı, sodyum nitroprussiat ile sarı zeminde uçuk pembe renk verir.

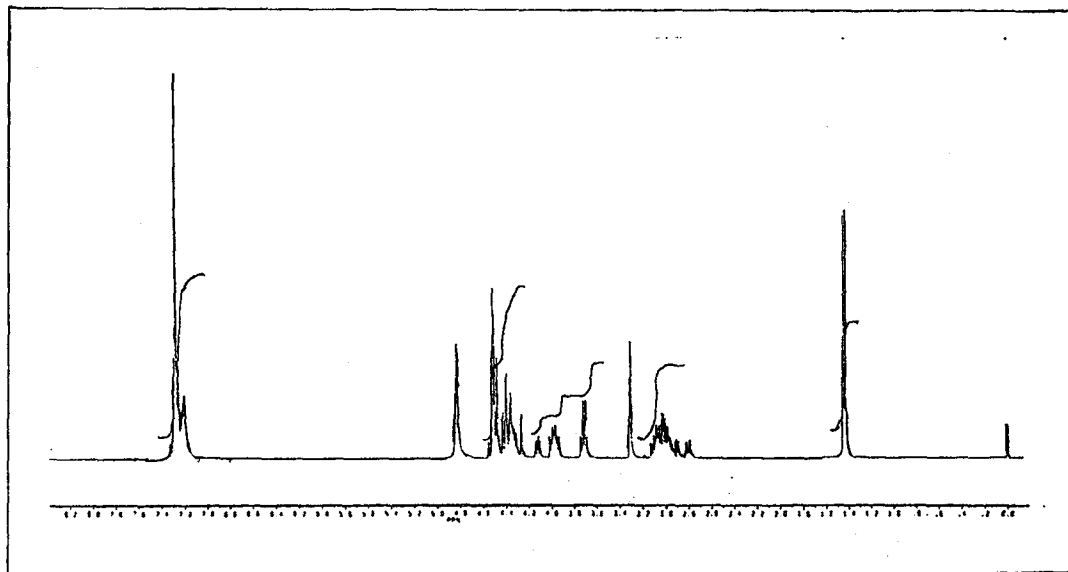
UV spektrumunda λ_{MeOH} 251 (log ε: 3.89) ve 288 nm de maks. (log ε: 4.04) dir.

IR spektrumunda 3100 (O-H gerilim), 3010 (aromatik C-H gerilim), 2960, 2920 (alifatik C-H gerilim), 1740 (C=O gerilim), 1595, 1445, 1325 (aromatik C=C gerilim ve C-H deformasyon), 1490 (C=S gerilim), 1220, 1105 (C-S gerilim), 1135 (C-O gerilim), $750, 700 \text{ cm}^{-1}$ de (monosübstitüe benzen C-H deformasyon) pikler görülür (Şekil 5).



Şekil 5: Bileşik III IR Spektrumu

NMR spektrumunda δ 1.43 (3H; dublet; $\text{N}-\text{CH}_2-\text{CH}_3$), 3.04 (2H; multiplet; $\text{C}_6\text{H}_5-\text{CH}_2-\text{CH}_2-\text{N}$), 3.71 (1H; kuartet; $\text{N}-\text{CH}_2-\text{CH}_3$), 3.96 (2H; multiplet; $\text{C}_6\text{H}_5-\text{CH}_2-\text{CH}_2-\text{N}$), 4.40 (2H; multiplet; tiadiazin H⁶), 4.51 (2H; dublet; tiadiazin H⁴), 7.28 ppm de (5H; multiplet; $\text{C}_6\text{H}_5-\text{CH}_2-\text{CH}_2-\text{N}$) pikler görülür (Şekil 6).



Şekil 6: Bileşik III NMR Spektrumu

Analiz : $C_{14}H_{18}N_2O_2S_2$ için;

	% C	% H	% N
Hesaplanan :	54.17	5.84	9.02
Bulunan :	54.23	6.02	9.28

3-(2-Feniletil)-5-[α -(izobütil)karboksimetil]-tetrahidro-
2H-1,3,5-tiadiazin-2-tion (IV)

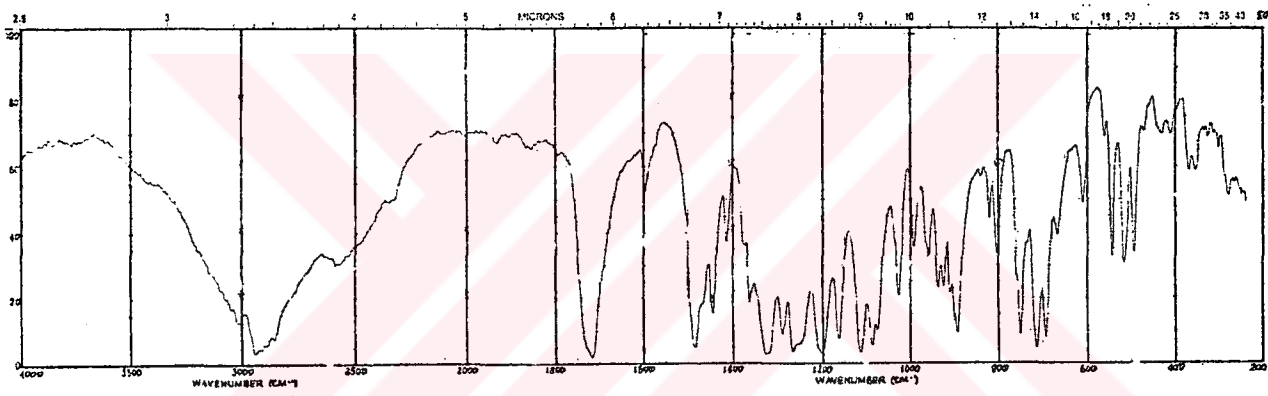
1.21 g 2-feniletilamin, 2.8 ml % 20 lik potasyum hidrok_ sit, 0.6 ml karbon sülfür, 1.49 ml % 37 lik formaldehit ve 1.31 g lösinden genel yönteme göre elde edilmiş aseton ile saflaştırılmıştır. Verim: 1.12 g (% 31.77).

Beyaz renkli kristaller toz halindedir. E.d.169 -70 °C. Su ve petrol eterinde çözünmez; metanol, etanol, aseton, eter, kloroform ve benzende çözünür.

İnce tabaka kromatografisinde benzen-ethyl asetat-formik asit (75:24:1), kloroform-metanol(80:20), benzen-metanol-ethyl asetat-formik asit (75:10:7,5:7,5) solvan sistem_ lerinde R_f değerleri sırasıyla 0.39, 0.82, 0.74 dür. UV ışı_ ında 254 ve 366 nm de floresan zemin üzerinde floresan olma_ yan lekeler verir. İyot buharlarıyla sarı zeminde kahverengi, potasyum ferrisiyanür-ferri klorür ile sarı zeminde yeşilimsi mavi, ninhidrin belirteci ile beyaz zeminde menekşe, alkali potasyum permanganat ile pembe zeminde sarı, sodyum nitro_ prussiyat ile sarı zeminde uğuk pembe renk verir.

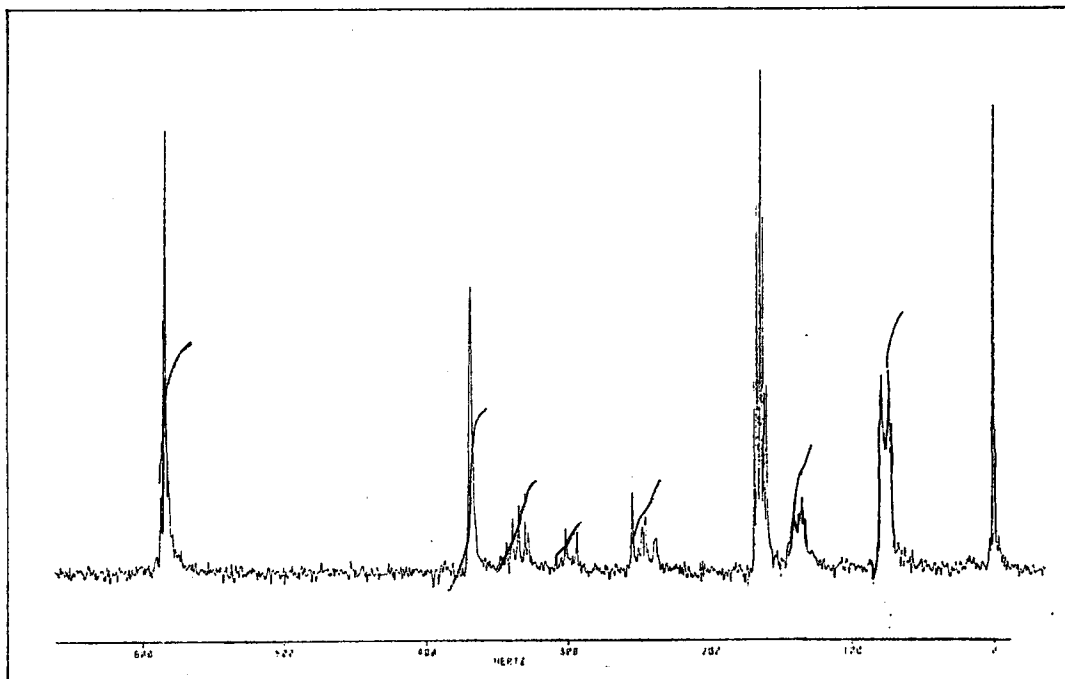
UV spektrumunda $\lambda_{\text{maks.}}^{\text{MeOH}}$ 251 (log $\epsilon:3.78$) ve 288 nm de (log $\epsilon:3.92$) dir.

IR spektrumunda 3100 (O-H gerilim), 3040, 3020 (aromatik C-H gerilim), 2940, 2920 (alifatik C-H gerilim), 1720 (C=O gerilim), 1595, 1445, 1325 (aromatik C=C gerilim ve C-H deformasyon), 1485 (C=S gerilim), 1270, 1250, 1115 (C-S gerilim), 1170 (C-O gerilim), 750, 710, 695 cm^{-1} de (monosübstitüe benzen C-H deformasyon) pikler görülür (Şekil 7).



Şekil 7: Bileşik IV IR Spektrumu

NMR spektrumunda δ 0.95 (6H; doublet; $\text{N}-\overset{\text{CH}}{\underset{1}{\text{CH}}}-\overset{\text{CH}_2}{\text{CH}}-\overset{\text{CH}_3}{\underset{\text{CH}_3}{\text{CH}}}$), 1.72 (3H; multiplet; $\text{N}-\overset{\text{CH}}{\underset{1}{\text{CH}}}-\overset{\text{CH}_2}{\text{CH}}-\overset{\text{CH}}{\text{CH}}$), 3.08 (2H; multiplet; $\text{C}_6\text{H}_5-\overset{\text{CH}_2}{\text{CH}}-\overset{\text{CH}_2}{\text{CH}}-\overset{\text{N}}{\text{N}}$), 3.72 (1H; triplet; $\text{N}-\overset{\text{CH}}{\underset{1}{\text{CH}}}-\overset{\text{CH}_2}{\text{CH}}-\overset{\text{CH}}{\text{CH}}$), 4.18; (2H; multiplet; $\text{C}_6\text{H}_5-\overset{\text{CH}_2}{\text{CH}}-\overset{\text{CH}_2}{\text{CH}}-\overset{\text{N}}{\text{N}}$), 4.61 (4H; singlet; tiadiazin H^4 ve H^6), 7.30 ppm de (5H; multiplet; $\text{C}_6\text{H}_5-\overset{\text{CH}_2}{\text{CH}}-\overset{\text{CH}_2}{\text{CH}}-\overset{\text{N}}{\text{N}}$) pikler görülür (Şekil 8).



Şekil 8: Bileşik IV NMR Spektrumu

Analiz : $C_{17}H_{24}N_2O_2S_2$ için;

	% C	% H	% N
Hesaplanan :	57.92	6.86	7.94
Bulunan :	57.77	6.87	8.39

3-(2-Feniletil)-5-| α-(karboksimetil)karboksimetil|-
tetrahidro-2H-1,3,5-tiadiazin-2-tion (V)

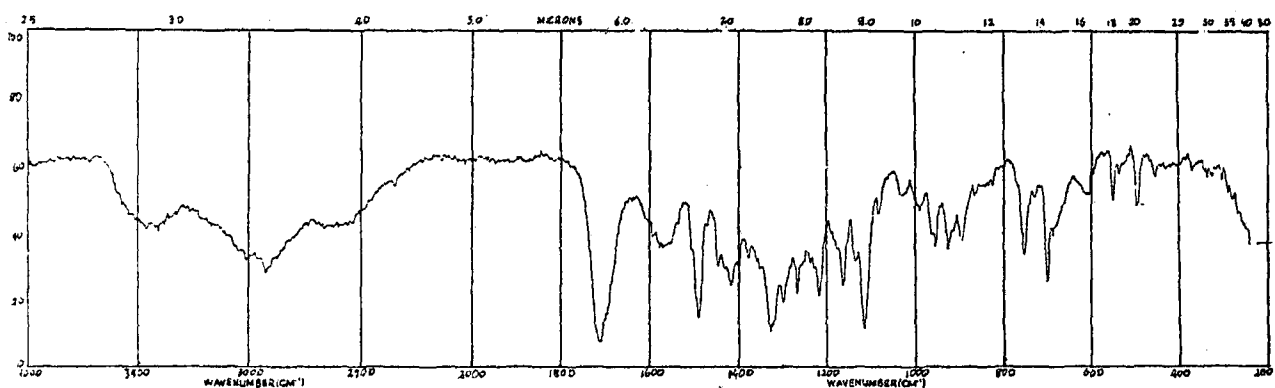
1.21 g 2-feniletilamin, 2.8 ml % 20 lik potasyum hidroksit, 0.6 ml karbon sülfür, 1.49 ml % 37 lik formaldehit ve 1.33 g L(+) aspartik asitten genel yönteme göre elde edilmiş metanol ile yıkandıktan sonra saflaştırılmıştır. Verim: 2.22 g (% 62.63).

Beyaz renkli kristaller toz halindedir. E.d. 123-4°C. Su, kloroform, benzen ve petrol eterinde çözünmez; metanol, etanol, aseton ve eterde çözünür.

Ince tabaka kromatografisinde benzen-ethyl asetat-formik asit (75:24:1), kloroform-metanol (80:20), benzen, metanol, ethyl asetat, formik asit (75:10:7,5:7,5) solvan sistemlerinde R_f değerleri sırasıyla 0.07, 0.28, 0.53 dür. UV ışığında 254 ve 366 nm de floresan zemin üzerinde fluoresan olmayan lekeler verir. İyot buharlarıla sarı zeminde kahverengi, potasyum ferrisiyanür- ferri klorür ile sarı zeminde yeşilimsi mavi, nihidrin belirteci ile beyaz zeminde mor, alkali potasyum permanganat ile pembe zeminde sarı, sodyum nitroprussiyat ile sarı zeminde uçuk pembe renk verir.

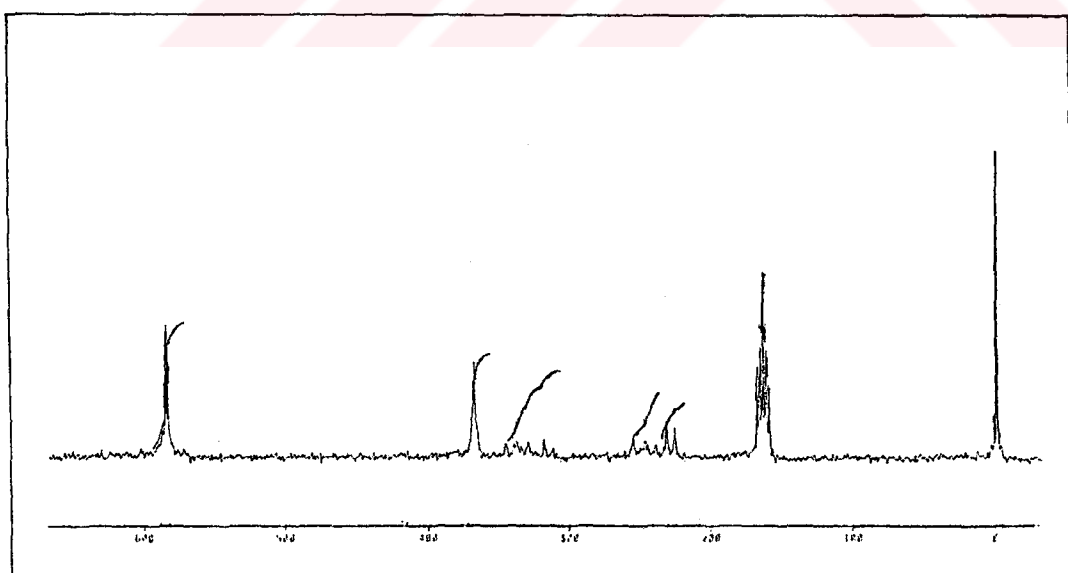
UV spektrumunda λ_{MeOH} maks. 250 ($\log \epsilon:3.87$) ve 288 nm de ($\log \epsilon:4.03$) dir.

IR spektrumunda 3450,3000 (O-H gerilim), 3010 (aromatik C-H gerilim), 2930 (alifatik C-H gerilim), 1715 (C=O gerilim), 1595,1420,1330 (aromatik C=C gerilim ve C-H defor-masyon), 1490 (C=S gerilim), 1265,1220,1115 (C-S gerilim), 1160 (C-O gerilim), $755,700 \text{ cm}^{-1}$ de (monosübstitüe benzen C-H deformasyon) pikler görülür (Şekil 9).



Şekil 9: Bileşik V IR Spektrumu

NMR spektrumunda δ 2.86 (2H; doublet; $\text{N}-\overset{\text{CH}}{\underset{\text{CH}_2}{\text{CH}_2}}-\text{COOH}$), 3.14 (2H; multiplet; $\text{C}_6\text{H}_5\text{CH}_2-\overset{\text{CH}_2}{\underset{\text{N}}{\text{CH}_2}}$), 4.15 (3H; multiplet; $\text{N}-\overset{\text{CH}}{\underset{\text{CH}_2}{\text{CH}_2}}-\text{COOH}$, $\text{C}_6\text{H}_5-\overset{\text{CH}_2}{\underset{\text{CH}_2}{\text{CH}_2}}-\text{N}$), 4.59 (4H; singlet; tiadiazin H^4 ve H^6), 7.30 ppm de (5H; multiplet; $\text{C}_6\text{H}_5-\overset{\text{CH}_2}{\underset{\text{CH}_2}{\text{CH}_2}}-\text{N}$) pikler görülür (Şekil 10).



Şekil 10: Bileşik V NMR Spektrumu

Analiz : $C_{15}H_{18}N_2O_4S_2$ için;

	% C	% H	% N
Hesaplanan :	50.83	5.12	7.90
Bulunan :	47.08	4.77	7.30

3-(2-Feniletil)-5-[α -(2-karboksietil)karboksimetil]-
tetrahidro-2H-1,3,5-tiadiazin-2-tion (VI)

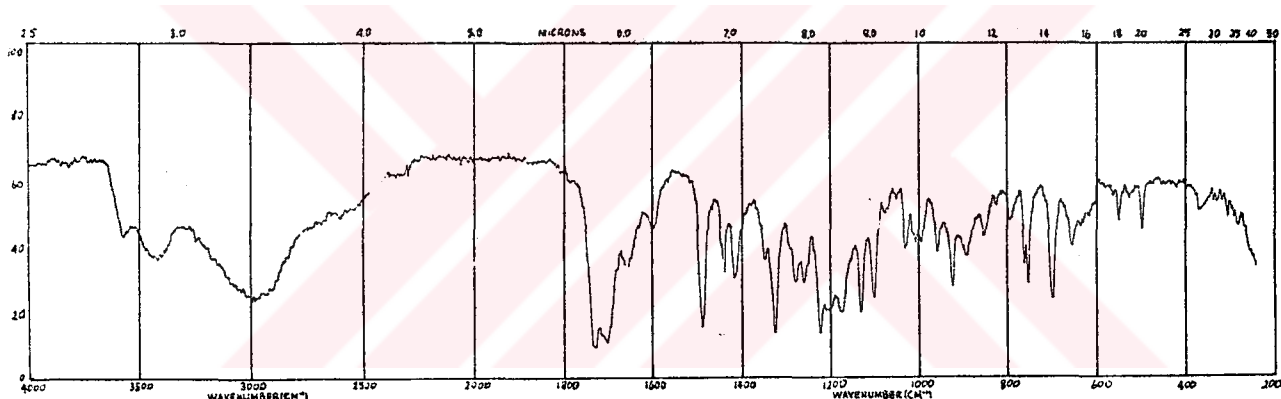
1.21 g 2-feniletilamin, 2.8 ml %20 lik potasyum hidroksit, 0.6 ml karbon sülfür, 1.49 ml % 37 lik formaldehit ve 1.47 g L-glutamik asitten genel yönteme göre elde edilmiş metanol ile saflaştırılmıştır. Verim : 2.14 g (% 58.08).

Beyaz renkli kristaller toz halindedir. E.d. 99-101°C. Su ve petrol eterinde çözünmez; benzende soğukta zor, sıcakta iyi çözünür; metanol, etanol, aseton, eter ve kloroformda çözünür.

İnce tabaka kromatografisinde benzen-etil asetat-formik asit (75:24:1), kloroform-metanol (80:20), benzen-metanol-etil asetat-formik asit (75:10:7,5:7,5) solvan sistemlerinde R_f değerleri sırasıyla 0.09, 0.38, 0.55 dir. UV ışığında 254 ve 366 nm de floresan zemin üzerinde floresan olmayan lekeler verir. İyot buharlarıyla sarı zeminde kahverengi, potasyum ferrisiyanür-ferri klorür ile sarı zeminde yeşilimsi mavi, ninkidrin belirteci ile beyaz zeminde menekşe, alkali potasyum permanganat ile pembe zeminde sarı, sodyum nitroprussiyat ile sarı zeminde uçuk pembe renk verir.

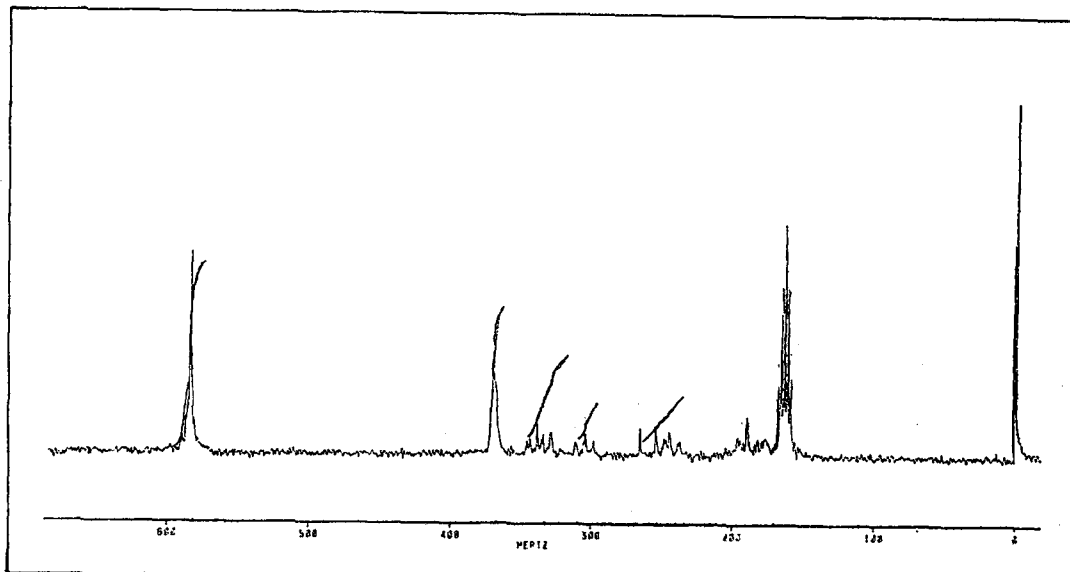
UV spektrumunda $\lambda_{\text{maks.}}$ 250 (log $\epsilon:3.95$) ve 288 nm de (log $\epsilon:4.12$) dir.

IR spektrumunda 3580, 3420 (O-H gerilim), 3040, 3020 (aromatik C-H gerilim), 2990, 2980 (alifatik C-H gerilim), 1735, 1705 (C=O gerilim), 1600, 1440, 1420, 1330 (aromatik C=C gerilim ve C-H deformasyon), 1490 (C=S gerilim), 1225, 1100 (C-S gerilim), 1175, 1130 (C-O gerilim), $750, 700 \text{ cm}^{-1}$ de (monosübstitüe benzen C-H deformasyon) pikler görülür (Şekil 11).



Şekil 11: Bileşik VI IR Spektrumu

NMR spektrumunda δ 2.37 (2H; multiplet; $\text{N}-\overset{|}{\text{CH}}-\text{CH}_2-\text{CH}_2-$ COOH), 3.05 (2H; multiplet; $\text{C}_6\text{H}_5-\text{CH}_2-\overset{|}{\text{CH}}_2-\text{N}$) 3.80 (2H; triplet; $\text{N}-\overset{|}{\text{CH}}-\text{CH}_2-\text{CH}_2-\text{COOH}$), 4.20 (3H; multiplet; $\text{N}-\overset{|}{\text{CH}}-\text{CH}_2-\text{CH}_2-\text{COOH}$, $\text{C}_6\text{H}_5-\text{CH}_2-\overset{|}{\text{CH}}_2-\text{N}$), 4.63 (4H; singlet; tiadiazin H⁴ ve H⁶), 7.30 ppm de (5H; multiplet; $\text{C}_6\text{H}_5-\text{CH}_2-\text{CH}_2-\overset{|}{\text{N}}$) pikler görülür (Şekil 12).



Şekil 12: Bileşik VI NMR Spektrumu

Analiz : $C_{16}H_{20}N_2O_4S_2$ için;

	% C	% H	% N
Hesaplanan :	51.16	5.47	7.60
Bulunan :	49.81	5.68	7.27

3-(2-Feniletil)-5-[α -(karbamidometil)karboksimetil]-tetrahidro-2H-1,3,5-tiadiazin-2-tion (VII)

1.21 g 2-feniletilamin, 2.8 ml % 20 lik potasyum hidroksit, 0.6 ml karbon sülfür, 1.49 ml % 37 lik formaldehit ve 1.32 g L-asparajinden genel yönteme göre elde edilmiş metanol ile saflaştırılmıştır. Verim 1.45 g (%41.02).

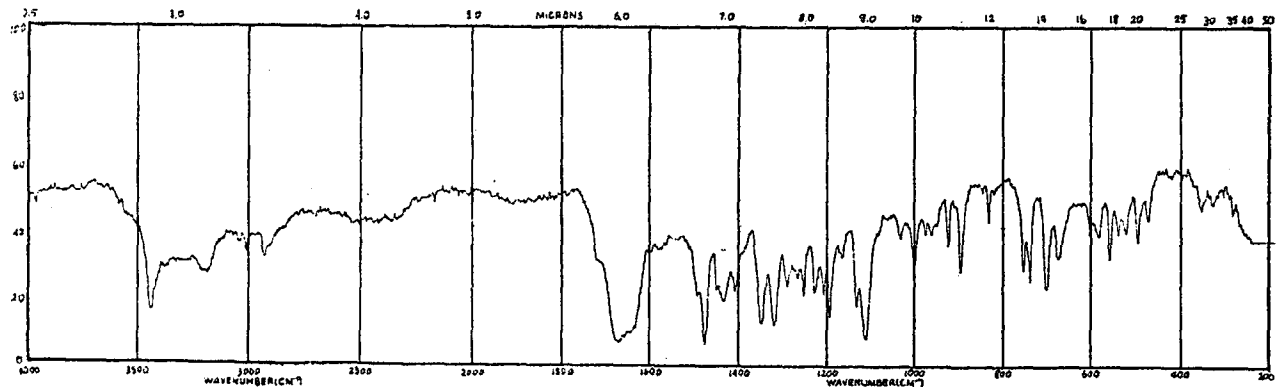
Beyaz renkli kristaller toz halindedir. E.d.144-5°C. Su, benzen ve petrol eterinde çözünmez; eterde sıcakta zor

çözünür; metanol, etanol, aseton ve kloroformda çözünür.

Ince tabaka kromatografisinde benzen-ethyl asetat-formik asit (75:24:1), kloroform-metanol (80:20), benzen-metanol-ethyl asetat-formik asit (75:10:7,5:7,5) solvan sistemlerinde R_f değerleri sırasıyla 0.02, 0.21, 0.39 dur. UV ışığında 254 ve 366 nm de floresan zemin üzerinde floresan olmayan lekeler verir. İyot buharlarıyla sarı zeminde kahverengi, potasyum ferrisiyanür-ferri klorür ile sarı zeminde yeşilimsi mavi, ninhidrin belirteci ile beyaz zeminde pembe, alkali potasyum permanganat ile pembe zeminde sarı, sodyum nitroprussiyat ile sarı zeminde uçuk pembe renk verir.

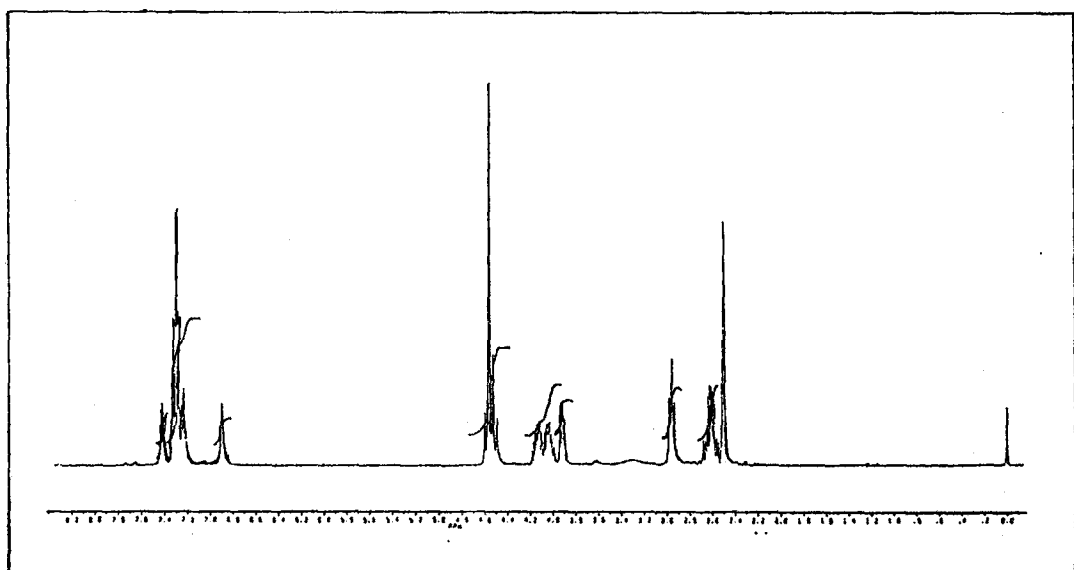
UV spektrumunda λ_{MeOH} 250 ($\log \epsilon:3.87$) ve 288 nm de maks. ($\log \epsilon:4.04$) dir.

IR Spektrumunda 3440 (O-H gerilim), 3200 (N-H gerilim), 3040, 3015 (aromatik C-H gerilim), 2925 (alifatik C-H gerilim), 1670 (karboksilli asit C=O gerilim), 1640 (amid C=O gerilim), 1595, 1430, 1350 (aromatik C=C gerilim ve C-H deformasyon), 1475 (C=S gerilim), 1250, 1230, 1100 (C-S gerilim), 1190 (C-O gerilim), $740, 700 \text{ cm}^{-1}$ de (monosübstitüe benzen C-H deformasyon) pikler görülür (Şekil 13).



Şekil 13: Bileşik VII IR Spektrumu

NMR spektrumunda δ 2.61 (2H; multiplet; $\text{N}-\overset{\text{H}}{\underset{\text{I}}{\text{CH}}}-\text{CH}_2-\text{CONH}_2$) , 2.95 (2H; triplet; $\text{C}_6\text{H}_5-\text{CH}_2-\overset{\text{H}}{\underset{\text{I}}{\text{CH}_2}}-\text{N}$), 3.92 (1H; triplet; $\text{N}-\overset{\text{H}}{\underset{\text{I}}{\text{CH}}}-\text{CH}_2-\text{CONH}_2$), 4.07 (2H; multiplet; $\text{C}_6\text{H}_5-\overset{\text{H}}{\underset{\text{I}}{\text{CH}_2}}-\text{CH}_2-\text{N}$), 4.54 (2H; çift dublet; tiadiazin H⁴), 4.56 (2H; singlet; tiadiazin H⁶), 6.89 (1H; singlet; $\text{N}-\overset{\text{H}}{\underset{\text{I}}{\text{CH}}}-\text{CH}_2-\text{CONH}_2$), 7.29 (5H; multiplet; $\text{C}_6\text{H}_5-\text{CH}_2-\overset{\text{H}}{\underset{\text{I}}{\text{CH}_2}}-\text{N}$), 7.42 ppm de (1H; singlet; $\text{N}-\overset{\text{H}}{\underset{\text{I}}{\text{CH}}}-\text{CH}_2-\text{CONH}_2$) pikler görülür (Şekil 14).



Şekil 14: Bileşik VII NMR Spektrumu

Analiz : $C_{15}H_{19}N_3O_3S_2$ için;

	% C	% H	% N
Hesaplanan :	50.97	5.42	11.89
Bulunan :	50.49	5.44	12.17

3-(2-Feniletil)-5-[α -(2-karbamidoetil)karboksimetil]-
tetrahidro-2H-1,3,5-tiadiazin-2-tion (VIII)

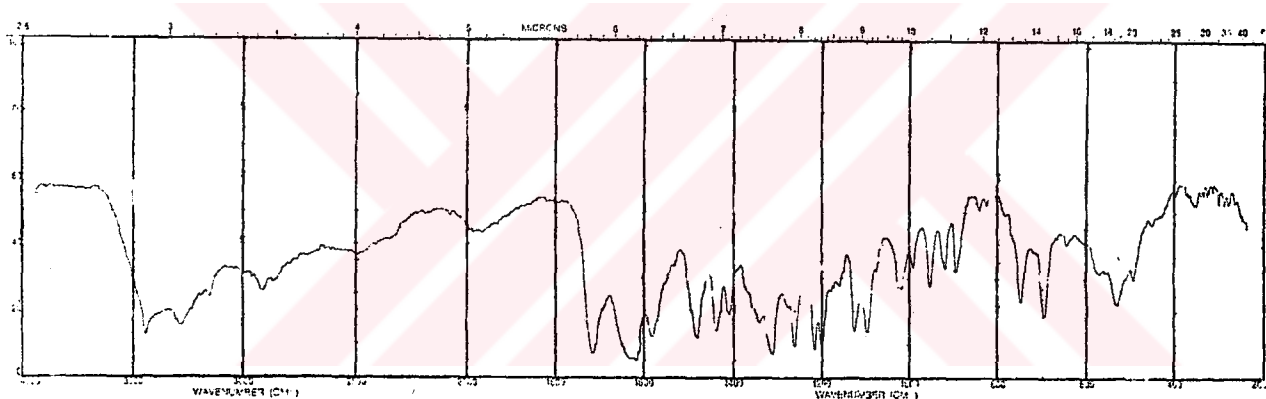
1.21 g 2-feniletilamin, 2.8 ml % 20 lik potasyum hidroksit, 0.6 ml karbon sülfür, 1.49 ml % 37 lik formaldehit ve 1.46 g glutaminden genel yönteme göre elde edilmiş metanol ile saflaştırılmıştır. Verim : 1.37 g (% 37.28).

Beyaz renkli kristaller toz halindedir. E.d.110-2°C. Su, benzen ve petrol eterinde çözünmez; eter ve kloroformda sıcakta zor çözünür, metanol, etanol ve asetonda çözünür.

İnce tabaka kromatografisinde benzen-etil asetat-formik asit (75:24:1), kloroform-metanol (80:20), benzen-metanol-etil asetat-formik asit (75:10:7,5:7,5) solvan sistemlerinde R_f değerleri sırasıyla 0.01, 0.10, 0.50 dir. UV ışığında 254 ve 366 nm de floresan zemin üzerinde floresan olmayan lekeler verir. İyot buharlarıyla sarı zeminde kahverengi, potasyum ferrisiyanür-ferri klorür ile sarı zeminde yeşilimsi mavi, ninhidrin belirteci ile beyaz zeminde menekşe, alkali potasyum permanganat ile pembe zeminde sarı, sodyum nitroprussiyat ile sarı zeminde uçuk pembe renk verir.

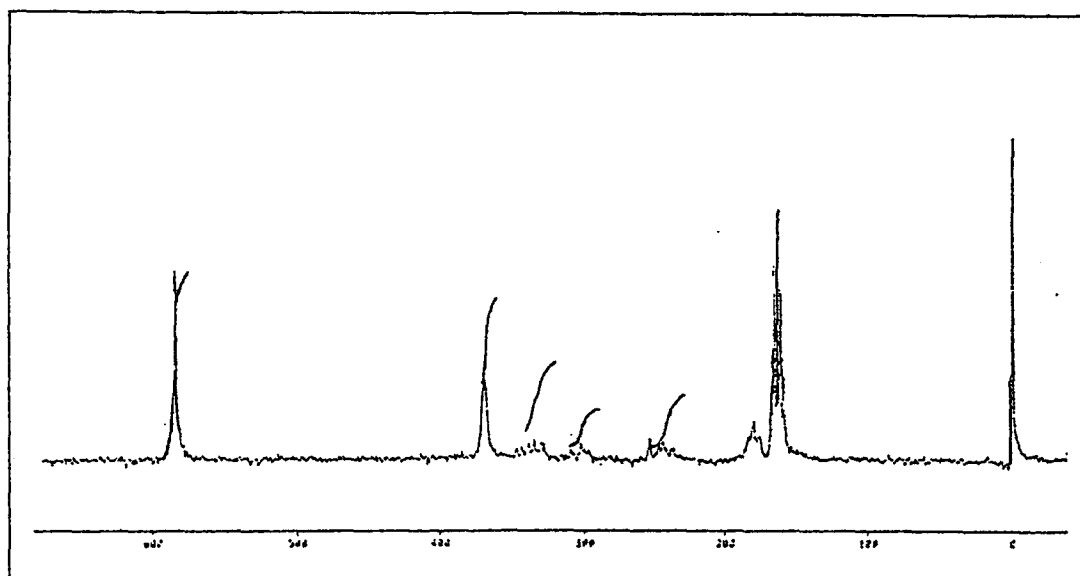
UV spektrumunda $\lambda_{\text{maks.}}$ MeOH 250 (log ε:3.87) ve 288 nm de (log ε:4.04) dir.

IR spektrumunda 3440 (O-H gerilim), 3280 (N-H gerilim), 3040, 3020 (aromatik C-H gerilim), 2920 (alifatik C-H gerilim), 1720 (karboksilli asit C=O gerilim), 1625 (amid C=O gerilim), 1585, 1440, 1420, 1315 (aromatik C=C gerilim ve C-H deformasyon), 1480 (C=S gerilim), 1260, 1220, 1100 (C-S gerilim), 1125 (C-O gerilim), 750 ve 700 cm^{-1} de (monosübstítüe benzen C-H deformasyon) pikler görülür (Şekil 15).



Şekil 15: Bileşik VIII IR Spektrumu

NMR spektrumunda δ 2.25 (2H; multiplet; $\text{^1N}-\text{CH}_2-\text{CH}_2-\text{CH}_2-\text{CONH}_2$), 3.05 (2H; multiplet; $\text{C}_6\text{H}_5-\text{CH}_2-\text{CH}_2-\text{N}^+$), 3.77 (2H; multiplet; $\text{^1N}-\text{CH}-\text{CH}_2-\text{CH}_2-\text{CONH}_2$), 4.17 (3H; multiplet; $\text{^1N}-\text{CH}-\text{CH}_2-\text{CH}_2-\text{CH}_2-\text{CONH}_2$), 4.60 (4H; singlet; tiadiazin H⁴ ve H⁶), 7.30 ppm de (5H; multiplet; $\text{C}_6\text{H}_5-\text{CH}_2-\text{CH}_2-\text{N}^+$) pikler görülür (Şekil 16).



Şekil 16: Bileşik VIII NMR Spektrumu

Analiz: $C_{16}H_{21}N_3O_3S_2 \quad 1 \frac{1}{2} H_2O$ için;

	% C	% H	% N
Hesaplanan :	48.71	6.13	10.65
Bulunan :	48.34	6.18	10.57

3-(2-Feniletil)-5-[α-(2-metiltioetil)karboksimetil]-
tetrahidro-2H-1,3,5-tiadiazin-2-tion (IX)

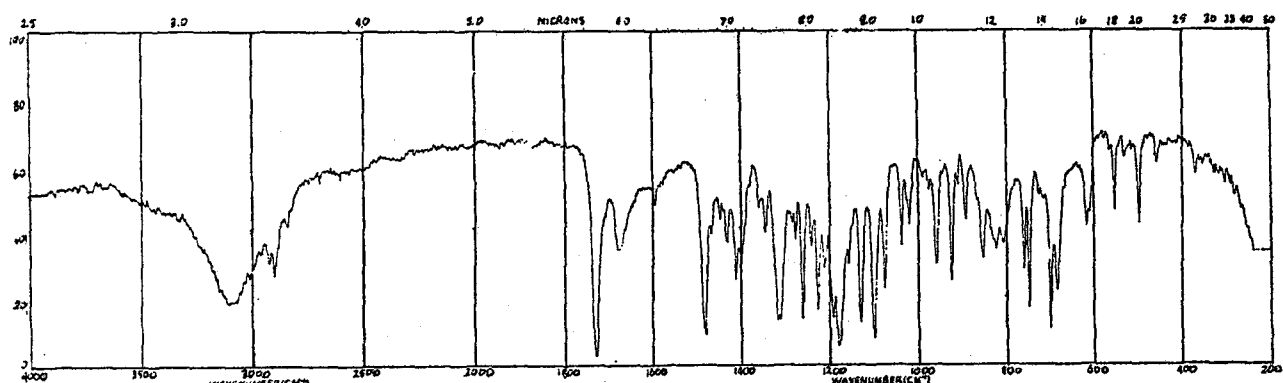
1.21 g 2-feniletilamin, 2.8 ml %20 lik potasyum hidroksit, 0.6 ml karbon sülfür, 1.49 ml % 37 lik formaldehit ve 1.37 g L(-) metiyoninden genel yönteme göre elde edilmiş metanol ile saflaştırılmıştır. Verim: 2.97 g (%80.05).

Beyaz renkli kristaller toz halindedir. E.d. 123-4°C. Su ve petrol eterinde çözünmez; benzende soğukta güç, sıcakta iyi çözünür; metanol, etanol, aseton, eter ve kloroformda çözünür.

İnce tabaka kromatografisinde benzen-etyl asetat-formik asit (75:24:1), kloroform-metanol (80:20), benzen-metanol-etyl asetat-formik asit (75:10:7,5:7,5) solvan sistemlerinde R_f değerleri sırasıyla 0.31, 0.69, 0.69 dur. UV ışığında 254 ve 366 nm de floresan zemin üzerinde floresan olmayan lekeler verir. İyot buharlarıyla sarı zeminde kahverengi, potasyum ferrisiyanür-ferri klorür ile sarı zeminde yeşilimsi mavi, ninhidrin belirteci ile beyaz zeminde menekşe, alkali potasyum permanganat ile pembe zeminde sarı, sodyum nitroprussiyat ile sarı zeminde uçuk pembe renk verir.

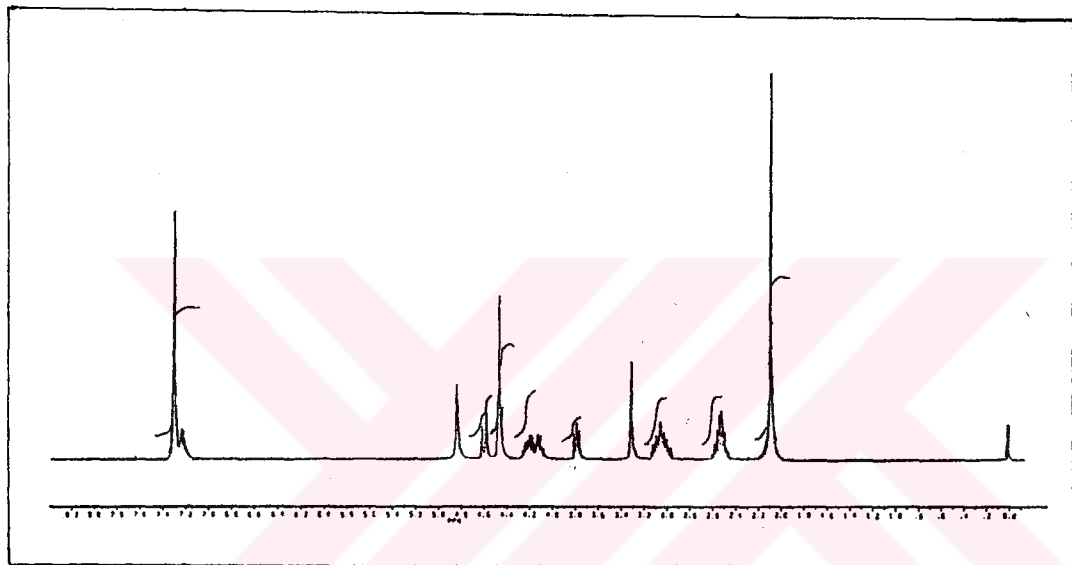
UV spektrumunda $\lambda_{\text{MeOH}}^{\text{Maks.}}$ 250 (log ϵ :3.90) ve 288 nm de (log ϵ :4.06) dir.

IR spektrumunda 3100 (O-H gerilim), 3020 (aromatik C-H gerilim), 2960, 2930, 2900 (alifatik C-H gerilim), 1730 (C=O gerilim), 1600, 1415, 1315 (aromatik C=C gerilim ve C-H deformasyon), 1485 (C=S gerilim), 1260, 1230, 1130, 1100 (C-S gerilim), 1180 (C-O gerilim), $750, 700 \text{ cm}^{-1}$ de (mono-substitüe benzen C-H deformasyon) pikler görülür (Şekil 17).



Şekil 17: Bileşik IX IR Spektrumu

NMR spektrumunda δ 2.08 (5H; multiplet; $\text{N}-\text{CH}-\text{CH}_2-\text{CH}_2-\text{S}-\text{CH}_3$) , 2.51 (2H; multiplet; $\text{N}-\text{CH}-\text{CH}_2-\text{CH}_2-\text{S}-\text{CH}_3$) , 3.05 (2H; multiplet; $\text{C}_6\text{H}_5-\text{CH}_2-\text{CH}_2-\text{N}$), 3.78 (1H; triplet; $\text{N}-\text{CH}-\text{CH}_2-\text{CH}_2-\text{S}-\text{CH}_3$) , 4.15 (2H; multiplet; $\text{C}_6\text{H}_5-\text{CH}_2-\text{CH}_2-\text{N}$), 4.45 (2H; singlet; tiadiazin H⁶), 4.52 (2H; çift dublet; tiadiazin H⁴), 7.29 ppm de (5H; multiplet; $\text{C}_6\text{H}_5-\text{CH}_2-\text{CH}_2-\text{N}$) pikler görülür (Şekil 18).



Şekil 18: Bileşik IX NMR Spektrumu

Analiz: $\text{C}_{16}\text{H}_{22}\text{N}_2\text{O}_2\text{S}_3$ için;

	% C	% H	% N
Hesaplanan :	51.86	5.99	7.56
Bulunan :	51.92	5.99	7.42

3-(2-Feniletil)-5-(3-karboksietil)-tetrahidro-2H-1,3,5-tiadiazin-2-tion (X)

1.21 g 2-feniletilamin, 2.8 ml % 20 lik potasyum hidroksit, 0.6 ml karbon sülfür, 1.49 ml % 37 lik formaldehit

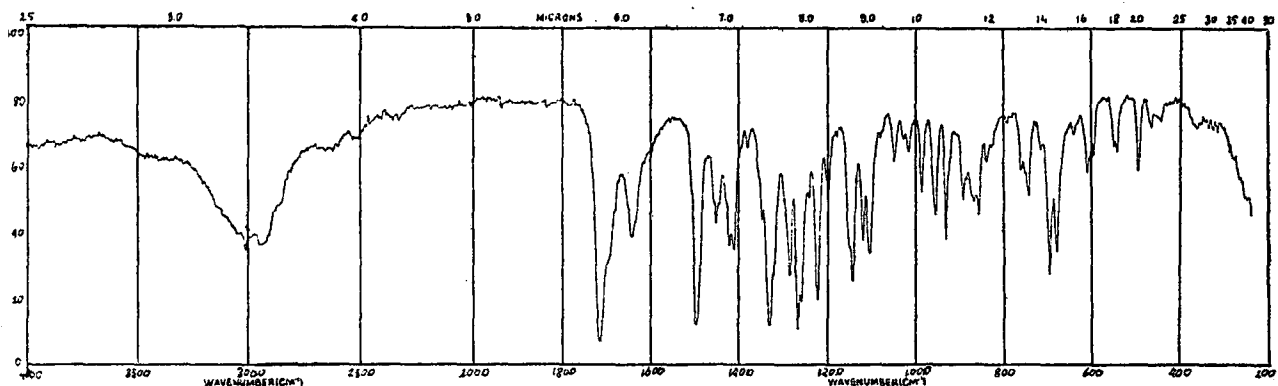
ve 0.89 g β -alaninden genel yönteme göre elde edilmiş meta-nol ile saflaştırılmıştır. Verim: 2.31 g (%74.42).

Beyaz renkli kristaller toz halindedir. E.d. 146-7°C. Su, benzen ve petrol eterinde çözünmez; metanol ve eterde soğukta zor çözünür; etanol, aseton ve kloroformda çözünür.

İnce tabaka kromatografisinde benzen-ethyl asetat-formik asit (75:24:1), kloroform-metanol (80:20), benzen-metanol-ethyl asetat-formik asit (75:10:7,5:7,5) solvan sistemlerinde R_f değerleri sırasıyla 0.21, 0.79, 0.65 dir. UV ışığında 254 ve 366 nm de floresan zemin üzerinde floresan olmayan lekeler verir. İyot buharlarıyla sarı zeminde kahverengi, potasyum ferrisiyanür- ferri klorür ile sarı zeminde yeşilimsi mavi, ninhidrin belirteci ile beyaz zeminde mor, alkali potasyum permanganat ile pembe zeminde sarı, sodyum nitroprussiyat ile sarı zeminde uçuk pembe renk verir.

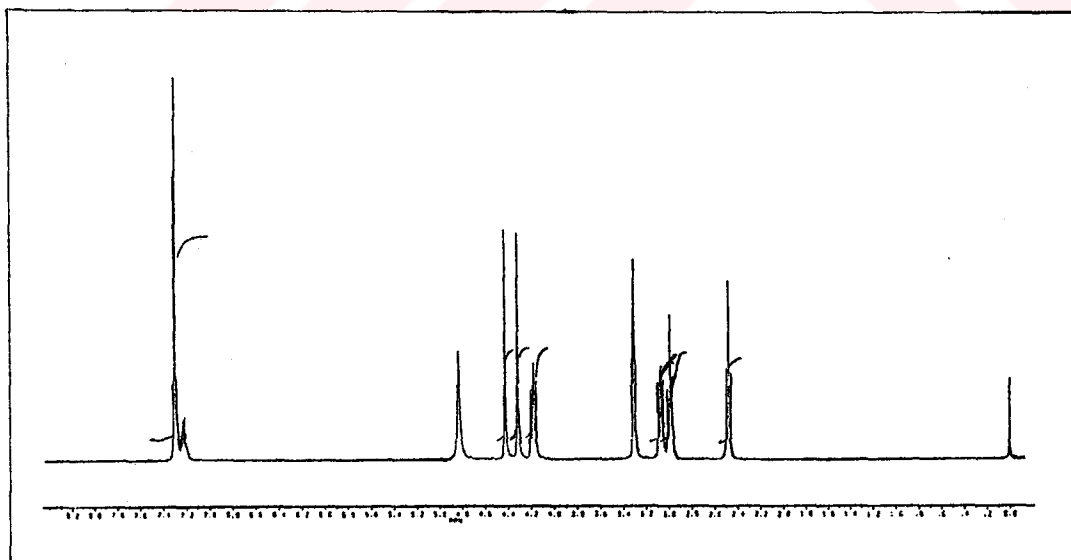
UV spektrumunda λ_{MeOH} 250 ($\log \epsilon:3.94$) ve 288 nm de maks. ($\log \epsilon:4.08$) dir.

IR spektrumunda 3100 (O-H gerilim), 3010 (aromatik C-H gerilim), 2950 (alifatik C-H gerilim), 1715 (C=O gerilim), 1600, 1420, 1410, 1330 (aromatik C=C gerilim ve C-H deformasyon), 1495 (C=S gerilim), 1225, 1105 (C-S gerilim), 1145 (C-O gerilim), $740, 700 \text{ cm}^{-1}$ de (monosübstitüe benzen C-H deformasyon) pikler görülür (Şekil 19).



Şekil 19: Bileşik X IR Spektrumu

NMR spektrumunda δ 2.47 (2H; triplet; $\text{N}-\text{CH}_2-\text{CH}_2-\text{COOH}$) , 2.98 (2H; triplet; $\text{N}-\text{CH}_2-\text{CH}_2-\text{COOH}$) , 3.07 (2H; triplet; $\text{C}_6\text{H}_5-\text{CH}_2-\text{CH}_2-\text{N}$) , 4.18 (2H; triplet; $\text{C}_6\text{H}_5-\text{CH}_2-\text{CH}_2-\text{N}$) , 4.31(2H; singlet; tiadiazin H⁶) , 4.42(2H;singlet;tiadiazin H⁴) , 7.30 ppm de (5H;multiplet; $\text{C}_6\text{H}_5-\text{CH}_2-\text{CH}_2-\text{N}$) pikler görülür (Şekil 20) .



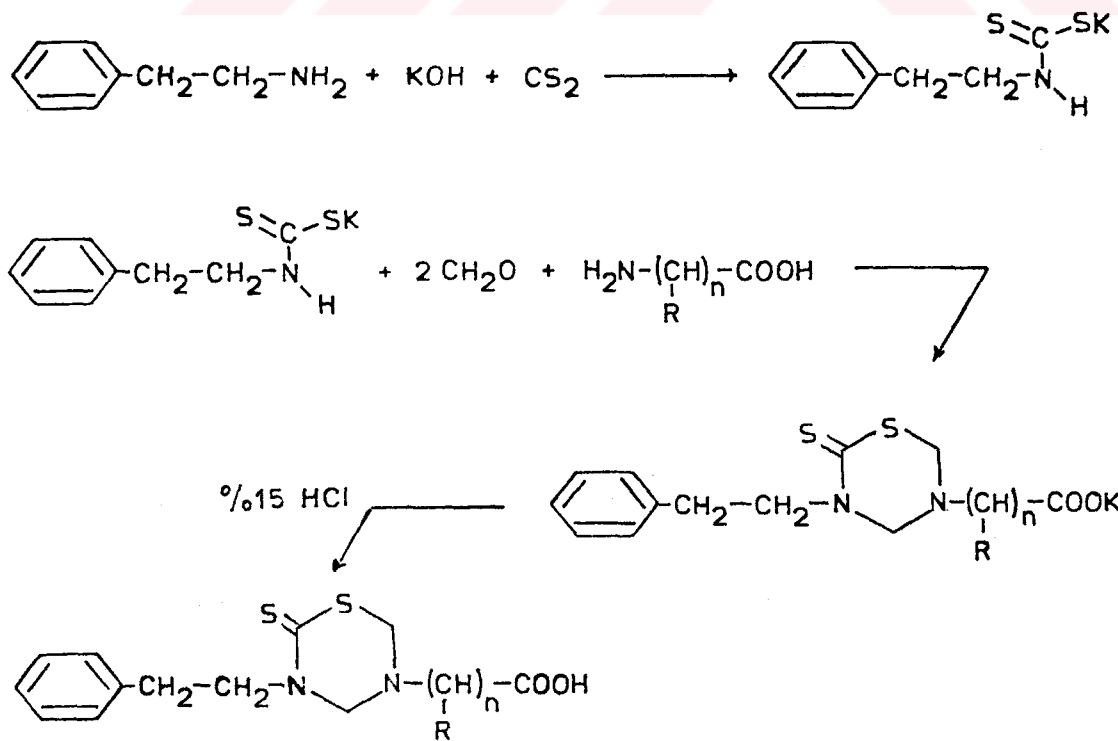
Şekil 20: Bileşik X NMR Spektrumu

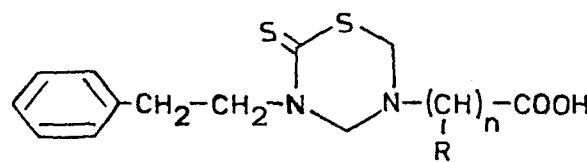
Analiz : $C_{14}H_{18}N_2S_2O_2$ için;

	% C	% H	% N
Hesaplanan :	54.17	5.84	9.02
Bulunan :	54.23	6.02	9.28

5. TARTIŞMA VE SONUÇ

Bu çalışmada 2-feniletilaminin potasyum hidroksit ve karbon sülfür ile reaksiyonu sonucu oluşan 2-feniletilditio-karbamat potasyum tuzunun formaldehit ve çeşitli amino asitlerle reaksiyonyla literatürde kayıtlı olmayan 3,5-disübsti-tüe-tetrahidro-2H-1,3,5-tiadiazin-2-tion yapısında on yeni bileşliğin sentezini gerçekleştirdik.





Bileşik	<u>n</u>	<u>R</u>
I	1	-
II	1	-CH ₂ -
III	1	-CH ₃
IV	1	-CH ₂ -CH(CH ₃) ₂
V	1	-CH ₂ -COOH
VI	1	-CH ₂ -CH ₂ -COOH
VII	1	-CH ₂ -CONH ₂
VIII	1	-CH ₂ -CH ₂ -CONH ₂
IX	1	-CH ₂ -CH ₂ -S-CH ₃
X	2	-H

Genel bilgiler kısmında da belirtildiği gibi 3,5-disübstitüe-tetrahidro-2H-1,3,5-tiadiazin-2-tionların sentezinde farklı yöntemler uygulanmaktadır. Bunları başlıca 2 grup altında toplayabiliriz. Bunlardan ilki primer aminlerin değişik solvanlardaki çözeltisinin karbon sülfür ve bir alkali metal tuzu ile reaksiyonu sonucu ditiokarbamatının oluşturulup, formaldehit ve diğer bir primer aminle muamelesi sonucunda 3,5-disübstitüe türevlerinin elde edilmesine dayanır(5,7,11,12,14,17). İkinci yöntemde ise, izotiosiyonatların önce alkol içinde ekimolar sodyum bisülfür ile reaksiyona sokulması, daha sonra da formaldehit ve diğer bir primer aminin tuzıyla muamelesi sonucu bileşiklerin oluştu-

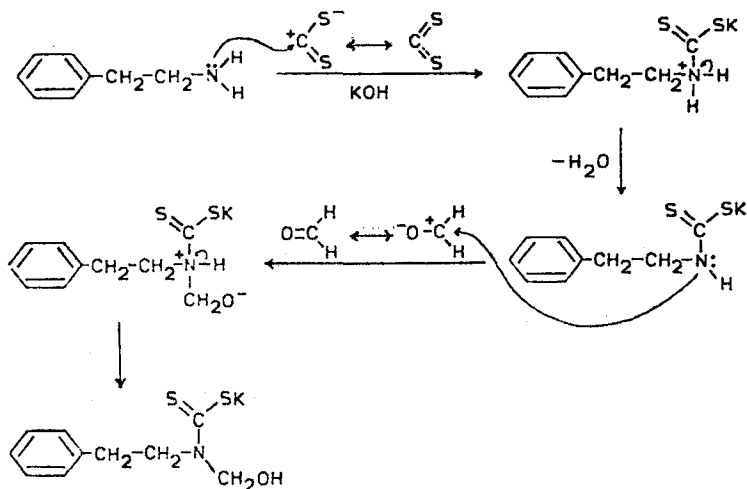
rulması söz konusudur (36,37).

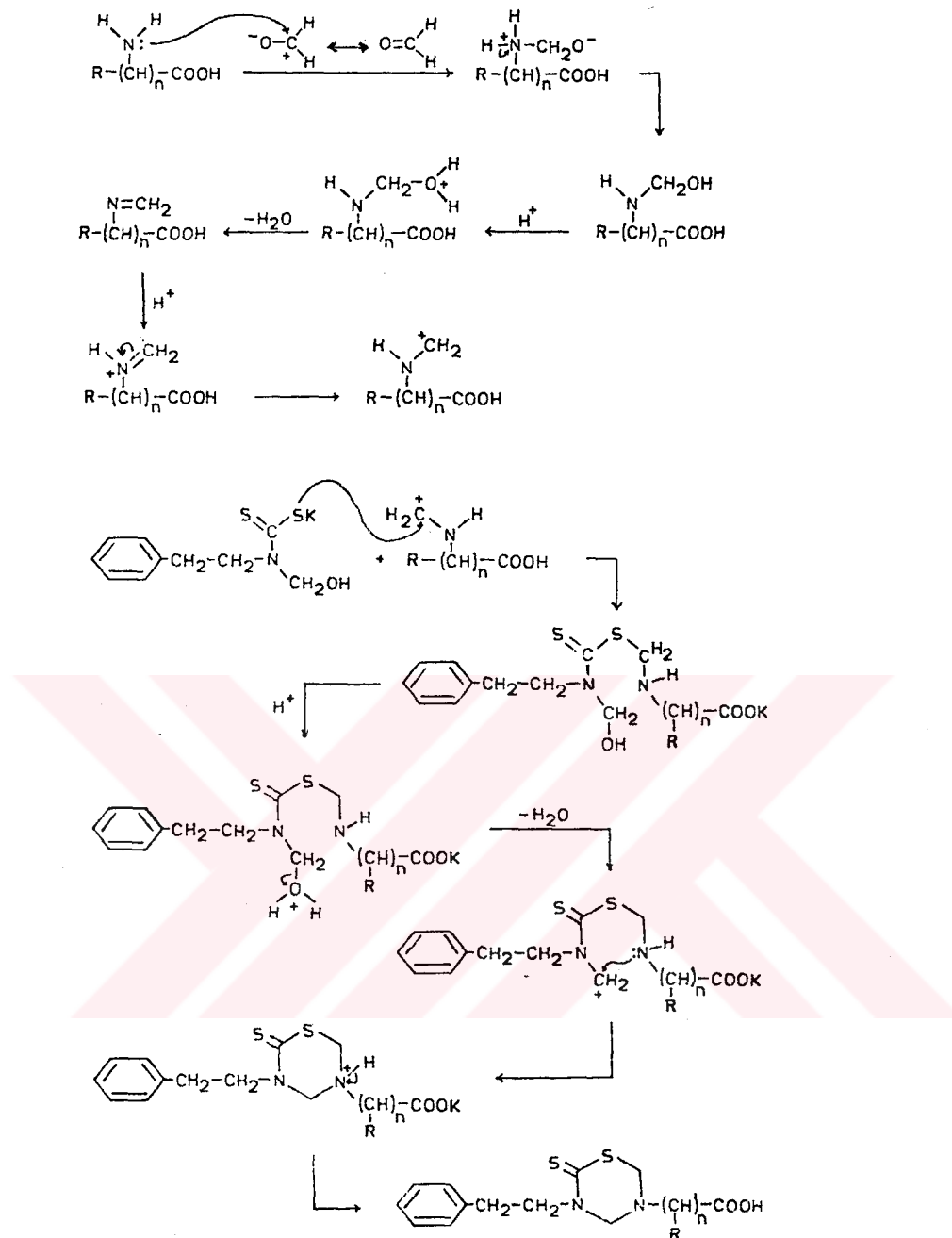
Biz bu çalışmamızda gerek uygulama kolaylığı, gerekse daha iyi verimle sonuçlanması nedeniyle birinci sentez yöntemini tercih ettik.

Bileşiklerin sentezleri için yaptığımız ön çalışma larda, reaksiyon seyrini ince tabaka kromatografisi ile kontrol ederek literatürde verilen değişik yöntemler denenmiştir. Bu ön çalışmalar sonucunda, reaksiyonun en iyi şekilde suda ve pH 7.8 tamponunda, reaksiyon süresinin literatürde verilenden bir miktar uzatılması ve yan ürünlerin eter ekstraksiyonu ile uzaklaştırılması suretiyle yürüdüğünü tespit ettim.

Bileşiklerin hazırlanmasında ilk aşama primer aminin ditiokarbamat potasyum tuzunun hazırlanmasıdır. Bu reaksiyon primer veya sekonder aminler ile karbon sülfür ve potasyum hidroksit arasında olur. Bizim çalışmamızda söz konusu amin 2-fenilettilamindir.

Reaksiyonun aşağıdaki mekanizmaya göre yürüdüğü görü şunneyiz.





Bileşiklerin UV spektrumlarında 249-250 ve 287-288

nm lerde kuvvetli absorpsiyonlar gözlenmektedir. Bu absorpsiyon maksimumları literatürdeki bulgular ile uyum göstermektedir (30, 40, 41).

Bileşiklerimizin IR spektrumlarında O-H gerilimleri 3500-3100, amid N-H gerilimleri 3280-3200, aromatik halka

C-H gerilimleri 3040-3010, alifatik C-H gerilimleri 2990-2900, karboksilli asit C=O gerilimleri 1740-1670, amid C=O gerilimleri 1640-1625, aromatik halka C=C gerilimleri ve C-H deformasyonları 1600-1320, C=S gerilimleri 1495-1475, tioester ve tioeter C-S gerilimleri 1270-1095, karboksilli asit C-O gerilimleri 1190-1125, monosübstitüe benzen C-H deformasyonları $750-700 \text{ cm}^{-1}$ civarında görülmektedir. Bulgularımız bileşiklerimize yapısal benzerlik gösteren bilesiklerin literatür verilerine ve söz konusu fonksiyonel grupların IR absorpsyonları konusundaki klasik bilgilere uymaktadır(14,18,42,52).

Bileşiklerimizin NMR spektrumlarında 2.90-3.15 ppm civarında $\text{C}_6\text{H}_5-\text{CH}_2-\overset{\text{I}}{\text{CH}_2-\text{N}}$, 3.75-4.20 ppm arasında $\overset{\text{I}}{\text{N}-\text{CH}_2-\text{R}}$ ve $\text{C}_6\text{H}_5-\overset{\text{I}}{\text{CH}_2-\text{CH}_2-\text{N}}$ protonlarına ait pikler gözlenmektedir. Bazen bu protonların net olarak ayırmaları yapılamamakla beraber integral değerleri proton sayılarına uygun bulunmuştur. Tiadiazin halkası 6-numaralı konumunu oluşturan metilen grubuna ait protonlar 4.30-4.65 ppm arasında singlet, 4-numaralı konumu oluşturan metilen grubuna ait protonlar ise bilesığın yapısına ve kullanılan aletin hassasiyetine göre 4.40-4.65 ppm arasında dublet, 6-numaralı konum metilen grubu ile birlikte singlet, ya da 6-numaralı konum metilen grubundan ayrı olarak çift dublet halinde genel bilgiler bölümünde de verildiği gibi 2-numaralı konumdaki tion grubunun 3-numaralı konum azot atomu ile laktam-laktim totomer formuna bağlı olarak magnetik anizotropi göstermesi halinde görülmektedir. Tiadiazin halkasının 3-numaralı konumundaki feniletil sübstituentinin

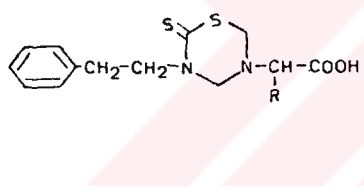
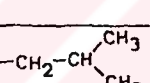
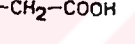
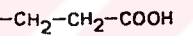
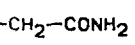
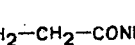
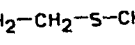
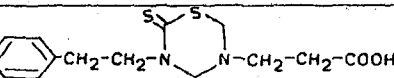
fenil grubuna ait protonları ile 5-numaralı konumdaki sübsti_tüentte fenil halkası içeren türevlerin bu gruptara ait protonları 7.25-7.30 ppm civarında pikler vermektedir. Bulunan bu bulgular literatür verileri ile benzerlik göstermektedir (17,42,44).

Sentezi yapılan bileşiklerin NMR spektrumlarında -COOH gruplarına ait protonlar ile Bileşik VIII deki -COOH grubu protonu yanısıra -CONH_2 grubu protonları da gözlenememektedir. Bu durum yapılardaki döteryum değişimi ile açıklanmaktadır.

Eleman analizi sonuçları da maddelerin yapılarını kanıtlamaktadır.

6. ÖZET

Bu çalışmada 2-feniletilaminin potasyum hidroksit, karbon sülfür, formaldehit ve değişik amino asitler ile reaksiyonundan antifungal ve antibakteriyel aktivite göstereceğini beklediğimiz 3,5-disubstitüe-tetrahidro-2H-1,3,5-tiadiazin-2-tion yapısında aşağıda gösterilen on bileşik elde edilmişdir.

No	Kimyasal Yapı	R	Saflaştırma çözücüsü	E.d. °C	% Verim
I			Metanol	143-4	62.82
II			Metanol	132-3	67.52
III			Metanol	131-3	59.60
IV			Aseton	169-70	31.77
V			Metanol	123-4	62.63
VI			Metanol	99-101	58.08
VII			Metanol	144-5	41.02
VIII			Metanol	110-2	37.28
IX			Metanol	123-4	80.05
X		—	Metanol	146-7	74.42

Sentezi yapılan bileşiklerin fiziksel Özellikleri, ince tabaka kromatografisindeki R_f değerleri ve UV absorpsiyon Özellikleri tespit edilmiş, IR, NMR spektroskopisi ve eleman analizi ile yapıları kanıtlanmıştır.

SUMMARY

In this study ten 3,5-disubstituted-tetrahydro-2H-1,3,5-thiadiazine-2-thione derivatives which are expected antifungal and antibacterial activities have been synthesized by the reaction of potassium hydroxide, carbon disulfide, formaldehyde and different amino acids with 2-phenylethylamine.

No	Chemical Structure	R	Purification Solvent	M.p. °C	% Yield
I		-C6H5	Methanol	143-4	62.82
II		-CH2-C6H5	Methanol	132-3	67.52
III		-CH3	Methanol	131-3	59.60
IV		-CH2-CH(CH3)2	Acetone	169-70	31.77
V		-CH2-COOH	Methanol	123-4	62.63
VI		-CH2-CH2-COOH	Methanol	99-101	58.08
VII		-CH2-CONH2	Methanol	144-5	41.02
VIII		-CH2-CH2-CONH2	Methanol	110-2	37.28
IX		-CH2-CH2-S-CH3	Methanol	123-4	80.05
X		—	Methanol	146-7	74.42

Physical properties, R_f values on thin layer chromatography and UV absorption properties of the synthesized compounds have been determined. Structure of these compounds have been proved by IR, NMR spectroscopy and elemental analysis.

7. LITERATÜR

1. Martin, D., Rieche, A., Iyer R.N.: Darstellung Substiuierter Thiohydantoinäuren, Thiohydantone und Verwandter Verbindungen als Mögliche Antimikrobiell Wirksame Substanzen; Arch. Pharm. 296, 641 (1963).
2. Rieche, A., Hilgetag, G., Martin, D., Kreyzi, I. : Untersuchungen über Dithiocarbamidsaureester als Mikrobizid Wirksame Substanzen; ibid. 296, 310 (1963).
3. Foye, W.O., Tovivich, P.: N-Glucopyranosyl-5-aralkylidenerhodanines; Synthesis and Antibacterial and Antiviral Activities; J.Pharm. Sci. 66, 1607 (1977).
4. Foye, W.O., An, S.H.: Synthesis of N.Glycosylthioureas, N-Glycosylrhodanines, and N-Glycosyl-2-aminothiazoles and Their Antimicrobial Activity; ibid. 70, 1059 (1981).
5. Rieche, A., Hilgetag, G., Martini,A., Nejedly, O., Schlegel, J.: Neue Verbindungen mit Bakterizider, Fungizider und das Wachstum von Viren Hemmender Wirkung I ; Arch. Pharm. 293, 957 (1960).

6. Rieche, A., Hilgetag, G., Martini, A., Philippson, R.: Neue Verbindungen mit Bakterizider, Fungizider und das Wachstum von Viren Hemmender Wirkung II ; ibid. 294, 201 (1961).
7. Rieche, A., Martin, D., Schade, W. : Darstellung und Antimikrobielle Eigenschaften Wasserlöslicher, Senföle Bildender Verbindungen; ibid. 296, 770 (1963).
8. Weuffen, W., Martin, D., Schade, W. : Untersuchungen der Bakteriostatischen Eigenschaften Einiger 2-Thion-tetrahydro-1,3,5-thiadiazine; Pharmazie 18, 420 (1963).
9. Zsolnai, T. : Die Antimikrobielle Wirkung von Potentiellen Isothiocyanat-Bildnern 2. ; Arzneim.-Forsch. 16, 1092 (1966).
10. Zsolnai, T. : Die Antimikrobielle Wirkung von Potentiellen Isothiocyanat-Bildnern 4. ; ibid. 18, 1319 (1968).
11. Schorr, M., Dürckheimer, W., Klatt, P., Lömmler, G., Nesemann, G., Schrinner, E.: Neue Tetrahydro-1,3,5-thiadiazin-2-thione mit Antimycotischer, Antibakterieller und Anthelmintischer Wirksamkeit; ibid. 19, 1807 (1969).
12. Zsolnai, T. : Die Antimikrobielle Wirkung von Potentiellen Isothiocyanat-Bildnern 5.; ibid. 19, 558 (1969).
13. Zsolnai, T. : Die Antimikrobielle Wirkung von Potentiellen Isothiocyanat-Bildnern 6. ; ibid. 21, 121 (1971).
14. Ertan, M.: Yeni Bazı Yarısentetik β -Laktam Antibiyotikleri Üzerinde Sentez Çalışmaları ve Biyolojik Araştırmaları; Acta Pharm. Turc. 27, 82 (1985).

15. Tartler, G., Martin, D., Weuffen, W., Theus, K.: Untersuchungen der Fungistatischen Eigenschaften Einiger 2-Thion-tetrahydro-1,3,5-thiadiazine; Pharmazie 18, 426 (1963).
16. Manohar, V., Murthy, S.V.K.N., Sirsi, M., Rao, G.R., Rao, P.L.N.: Antidermatophytic Activity of 2-Thio-tetrahydro-1,3,5-thiadiazines and Isothiocyanates; J.Pharm. Sci. 64, 164 (1975).
17. Ertan, M., Erkmen, H., Üreten, M., Bal, M.: Bazı PAS ve Tetrahidro-1,3,5-tiadiazin Türevi Bileşiklerin Anti-fungal Etkileri Üzerinde Araştırmalar; Mikrobiol.Bült. 16, 268 (1982).
18. Ertan, M., Ertan, R., Üreten, M., Nebioğlu, D., Maden, S.: Studies on The Synthesis of Some 3,5-Disubstituted tetrahydro-2H-1,3,5-thiadiazine-2-thione Derivatives and Their Fungicide Activities Against Phytophthora Capsici Leon; Acta Pharm. Turc. 28, 65 (1986).
19. Schmidt, U., Martin, D.: Versuche zur Beeinflussung von Viruskrankungen Durch Synthetische Senfölbildner; Arch. Exp. Veterinärmedizin 18, 1163 (1964).
20. Schmidt, U., Beyer, E., Martin, D.: Versuche zur Beeinflussung von Viruskrankungen Durch Synthetische Senfölbildner; Monatsber. Deut. Akad. Wiss. 6, 458 (1964).

21. Rada, B., Hanusouska, T., Drobnica, L., Nemec, P.: Inhibition of Virus Multiplication by Selected Isothiocyanates; *Acta Virol.* 15, 329 (1971).
22. Besemer, A.F.H., Dostenbrink, M.: Comparison of Some Soil Disinfectants with Nematocidal Properties; *Staat. Gent.* 22, 387 (1957); ref. C.A. 53, 6514 c (1959).
23. Hartill, W.F.T., Campbell, J.M.: Control of Sclerotinia in Tobacco Seedbeds; *Plant Dis. Repr.* 57, 932 (1973).
24. Franco, P.J. Oshita, N.: Response of 3 Potato Varieties to the Chemical Control of Root-Knot Nematode, *Meloidogyne incognita*; *Fitopatologia* 8, 25 (1973); ref. C.A. 80, 117004 x (1974).
25. Vitangelo, M., Vovlas, N.: Herbicides and Nematocides for Celery Seedbeds; *Fitopatologia* 25, 17(1975); ref. C.A. 85, 1168 c (1976).
26. Tartler, G., Weuffen, W., Fröhling, P.: Tuberkulostatische Eigenschaften Einiger 2-Thion-tetrahydro-1,3,5-thiadiazine In Vitro; *Arch. Exp. Veterinarmedizin* 19, 9 (1965).
27. Odlerova, Z., Augustin, J., Nemec, P.: Antitubercular Action of 3,5-Disubstituted tetrahydro-1,3,5-thiadiazine-2-thiones; *Proc. Int. Congr. Chemother.*, 7th 1971, 1085 (1972); ref. C.A. 79, 61985 c (1973).
28. Odlerova, Z.: Evaluations of the Antimycabacterial Effectiveness of Natural and Synthetic Drugs Using Growth Curves; *Stud. Pneumol. Phtiseol. Czech.* 36, 156(1976);

- ref. C.A. 85, 117350 k (1976).
29. Würbach, G., Klöcking, H.P. : 2-Thiontetrahydro-1,3,5-thiadiazine mit Antifibrinolytischen Eigenschaften; Pharmazie 28, 254 (1973).
30. Ainley, A.D., Davies, W.H., Gudgeon, H., Harland, J.C., Sexton, W.A. : The Constitution of the So-called Carbothialdines and the Preparation of Some Homologous Compounds; J.Chem. Soc. 1944, 147 (1944).
31. Augustin, M., Bauer, S., Koehler, M.: Synthesis of Substituted Tetrahydro-2H-1,3,5-thiadiazine-2-thiones; Z.Chem. 14, 270 (1974); ref. C.A. 81, 136119 a (1974).
32. Fujikawa, Y., Sakashita, M., Tsuruzoe, N. : 3,5-Dialkyl-4,6-diaryltetrahydro-2H-1,3,5-thiadiazine-2-thione Derivative, and Antihyperlipidemic Agent Containing it; Eur. Pat. Appl. EP 183,173 Nov. 1984 ; ref. C.A. 105, 97507 t (1986).
33. E.I. du Pont de Nemours and Co.: 3,3' -Alkylenebis(tetrahydro-1,3,5-thiadiazine-2-thiones); Brit. 918,151 Feb.13, 1963; ref. C.A. 59, 2839 f (1963).
34. Belasco, I.J., Kouba, N.R. : Thiadiazines as Fertilizer Nitrification Inhibitors; U.S. Pat. 3,503,733 31 Mar. 1970; ref. C.A. 72, 132802 j (1970).
35. Lederle, E. : 5,5' -Ethylenebis [tetrahydro-2H-1,3,5-thiadiazine-2-thiones]; Fr.Pat. 1,525,723 17 May. 1968; ref. C.A.71, 39016 (1969).

36. Kristian, P., Bernat, J.: Neue Darstellungsmethode für 3,5-Disubstituerte-2-thion-tetrahydro-1,3,5-thiadiazinen; Tetrahedron Letters 6, 679 (1968).
37. Bernat, J., Kristian, P.: Isothiocyanates and Their Use in Syntheses. I. Synthesis of 3,5-Disubstituted tetrahydro-1,3,5-thiadiazine-2-thiones; Collect. Czech. Chem. Commun. 33, 4283 (1968); ref. C.A. 70, 37793 g (1969).
38. Schade, W., Rieche, A. : Untersuchungen zum Wirkung_mechanismus der 2-Thion-tetrahydro-1,3,5-thiadiazine; Arch. Pharm. 299, 589 (1966).
39. Würbach, G., Martin, D., Rieche, A. : Solvolysis von 2-Thiontetrahydro-1,3,5-thiadiazinen; Pharmazie 26, 78 (1971).
40. Talukdar, P.B.: Dithiocarbamates. II. Ultraviolet Absorption Spectra of Tetrahydro-1,3,5-thiadiazine-2-thiones; J. Indian Chem. Soc. 44, 17 (1967); ref. C.A. 66 120383 m (1967).
41. Kristian, P., Bernat, J. : Isothiocyanates and Their Synthetic Precursors. VI. The Ultraviolet Absorption Spectra of 3,5-Disubstituted-tetrahydro-1,3,5-thiadiazine-2-thiones; Collect. Czech. Chem. Commun. 34, 2952 (1969); ref. C.A. 72, 2859 x (1970).
42. Ertan, M., Üreten, M., Ertan, R., Baykara, T.: Die Synthetische Untersuchungen über die Derivaten von 5-(1-Adamantyl)-3-substituierte-tetrahydro-2H-1,3,5-thiadiazin-2-thion und deren Zerfallsgeschwindigkeiten;

J. Fac. Pharm. İstanbul 20, 87 (1984).

43. Nebioglu, D., Ertan, R., Ertan, M.: The Synthesis and Structural Analysis of 3,5-Disubstituted-tetrahydro-2H-1,3,5-thiadiazine-2-thione Derivatives, Starting from Some Biologically Active Amino Acids; *Ibid.* 22, 77 (1986).
44. Szalontai, G., Dudas, J.: ^{13}C - and $^1\text{H-NMR}$ Study of Tetrahydro-3,5-dialkyl-1,3,5-thiadiazin-2-thiones; *Acta Chim. Hung.* 119, 7 (1985).
45. Goksoyr, J. : Chemical and Fungicidal Reactions of 3,5-Dimethyltetrahydro-1,3,5-thiadiazine-2-thione (3,5-D). A Comparison with Sodium N-Methyl Dithiocarbamate and Methyl Isothiocyanate; *Acta Chem. Scand.* 18, 1341 (1964).
46. Barrett, G.C. : Iodine as a "Non-Destructive" Colour Reagent in Paper-and Thin-Layer Chromatography; *Nature* 194, 1171 (1962).
47. Barton, G.M., Evans, R.S., Gardner, J.A.F.: Paper Chromatography of Phenolic Substances; *Ibid.* 170, 249 (1952).
48. Patton, A.R., Chism, P. : Quantitative Paper Chromatography of Amino Acids; *Anal. Chem.* 23, 1683 (1951).
49. Fahmy, A.R., Niederwieser, A., Pataki, G., Brenner, M.: Eine Schnellmethode zur Trennung und zum Qualitativen Nachweis von 22 Aminosäuren; *Helv. Chim. Acta* 44, 2022 (1961).

50. Hay, G.W., Lewis, B.A., Smith, F.: Thin-Film Chromatography in the Study of Carbohydrates; *J. Chromatog.* 11, 497 (1963).
51. Korte, F., Vogel, J.: Dünnschichtchromatographie von Lactonen, Lactamen und Thiol-Lactonen; *Ibid.* 9, 381 (1962).
52. Silverstein, R.M., Bassler, C.G., Morrill, T.C., Spectrometric Identification of Organic Compounds, 3. Baski, John Wiley and Sons Inc., New York (1974).

ÖZGEÇMİŞ

1963 yılında Ankara'da doğdum. İlk ve orta öğrenimimi Ankara'da tamamladım. 1981 yılında girdiğim Hacettepe Üniversitesi Eczacılık Fakültesinden 1985 yılında mezun oldum. Aynı yıl Hacettepe Üniversitesi Eczacılık Fakültesi Farmasötik Kimya Anabilim Dalına araştırma görevlisi olarak girdim. Halen aynı görevi sürdürmekteyim.